

บทที่ 4

ผลการทดสอบ

เนื้อหาในบทนี้จะเป็นผลการทดสอบระเบียบวิธีนำเสนอในการหาการจัดเส้นทางแบบเฟ้นสุ่มที่เหมาะสมที่สุด รวมทั้งศึกษาผลกระทบของการถูกโจมตีด้วยการดักฟังข้อมูลและการส่งสัญญาณรบกวนข้อมูลในโครงข่ายไร้สายแบบเมช ซึ่งการทดสอบได้แบ่งออกเป็น 3 หัวข้อดังนี้

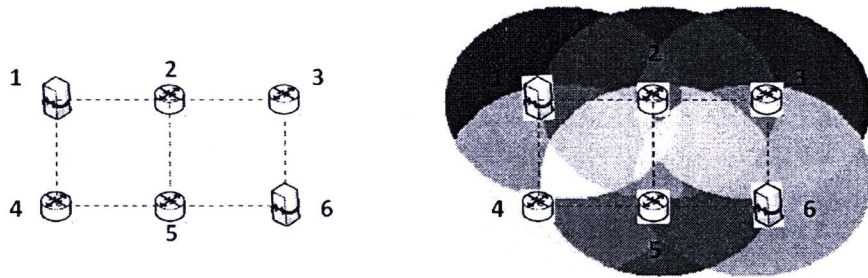
โดยหัวข้อ 4.1 จะเป็นการทดสอบกับโครงข่ายแบบตารางขนาดเล็กซึ่งจะแสดงระเบียบวิธีการคำนวณหาการจัดเส้นทางแบบเฟ้นสุ่มที่เหมาะสมที่สุดอย่างง่าย ต่อมาหัวข้อ 4.2 จะเป็นการทดสอบกับโครงข่ายแบบตารางที่มีขนาดใหญ่ขึ้นซึ่งจะทำการวิเคราะห์ผลกระทบต่าง ๆ ออกเป็นหลายหัวข้อย่อยได้แก่ ผลกระทบของการเปลี่ยนแปลงค่าบีมวิดิท ความแตกต่างของค่า *ESS* ในโครงข่ายแบบหนาแน่นกับโครงข่ายแบบเบาบาง ผลกระทบจากการเปลี่ยนตำแหน่งเกตเวย์และจากการเพิ่มรัศมีการส่งสัญญาณไร้สายให้กับโนดในโครงข่าย การจัดหาเส้นทางเฟ้นสุ่มของผู้เล่นฝ่ายป้องกันจากทฤษฎีเกมเทียบกับการสุ่มแบบยูนิฟอร์ม การเลือกพื้นที่การโจมตีของผู้เล่นฝ่ายโจมตีจากทฤษฎีเกมเทียบกับวิธีการเลือกพื้นที่แบบยูนิฟอร์ม และแบบพื้นที่ที่มีการทับซ้อนกันของบีมมากที่สุด และสุดท้ายคือการวิเคราะห์ผลกระทบต่อค่าความปลอดภัยเมื่อมีจุดเชื่อมต่อใดจุดเชื่อมต่อหนึ่งเกิดความเสียหาย หัวข้อสุดท้ายหัวข้อ 4.3 จะเป็นการวิเคราะห์โครงข่ายสุ่ม

4.1 การทดสอบกับโครงข่ายแบบตารางขนาดเล็ก

เพื่อความชัดเจนในหัวข้อที่ 4.1 นี้จะยกตัวอย่างการคำนวณหาเส้นทางเฟ้นสุ่มของโครงข่ายแบบตารางขนาด 2×3 โดยในตัวอย่างจะแสดงการจำลองทั้ง 2 แบบ คือ กรณีสายอากาศรอบทิศทาง และกรณีสายอากาศระบุทิศทาง โดยในกรณีของสายอากาศระบุทิศทางจุดเชื่อมต่อและเกตเวย์ทุกตัวมีค่าบีมวิดิทเท่ากันทั้งหมด โดยสีที่แตกต่างกันของพื้นที่ตัดกันของส่วนของวงกลมต่าง ๆ ดังรูปที่ 4.1 จะแสดงถึงเซตของตำแหน่งที่ผู้เล่นฝ่ายโจมตีดักฟังหรือส่งสัญญาณรบกวนในพื้นที่ที่มีสีเดียวกันจะให้ผลของการโจมตีเหมือนกัน โดยกำหนดให้จุดเชื่อมต่อและเกตเวย์ทุกโนดที่ติดกันห่างกัน 20 หน่วย และโนดแต่ละโนดมีรัศมีการส่ง 25 หน่วย

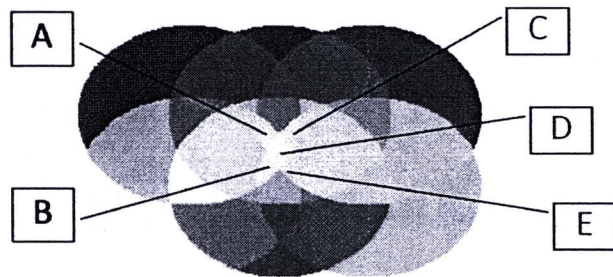
4.1.1 การทดสอบกับโครงข่ายแบบตารางขนาด 2×3 ในกรณีที่ผู้เล่นฝ่ายป้องกันใช้สายอากาศรอบทิศทาง

จากรูปที่ 4.1 เป็นการทดสอบกับโครงข่ายแบบตารางขนาด 2×3 โดยโครงข่ายประกอบไปด้วยเกตเวย์ 2 ตัวอยู่ในตำแหน่งที่ 1 และ 6 ส่วนตำแหน่งโนดที่ 2 ถึง 5 จะทำหน้าที่เป็นจุดเชื่อมต่อซึ่งโนดทั้งหมดวางห่างกัน 20 หน่วยและกำหนดให้รัศมีการส่งสัญญาณไร้สายในแต่ละโนดมีค่าเป็น 25 หน่วย โดยนำมาทดสอบในกรณีการส่งข้อมูลฝั่งขาขึ้นและขา



รูปที่ 4.1: โครงข่ายแบบตารางขนาด 2x3 และเซตของตำแหน่งในการดักฟังที่ส่งผลแตกต่างกันในกรณีสายอากาศรอบทิศทาง

ลง ซึ่งนำมาทดสอบทั้งในกรณีการดักฟังข้อมูลและการส่งสัญญาณรบกวน ในกรณีแรกคือการดักฟังข้อมูลปรากฏว่าได้ค่า $ESS = 0$ ทั้งในการส่งข้อมูลฝั่งขาขึ้นและฝั่งขาลง นั่นคือไม่ว่าผู้เล่นฝ่ายป้องกันจะเลือกรูปแบบทรีในการส่งแบบใดก็ตาม ผู้เล่นฝ่ายโจมตีจะสามารถดักฟังเซสชันของทุกจุดเชื่อมต่อได้หมด โดยแผนการเล่นของผู้เล่นฝ่ายโจมตีจะเลือกพื้นที่ในการดักฟังดังรูปที่ 4.2



รูปที่ 4.2: ตำแหน่งที่ผู้เล่นฝ่ายโจมตีเลือกเพื่อดักฟังข้อมูลในโครงข่ายได้รัยแรงที่สุด

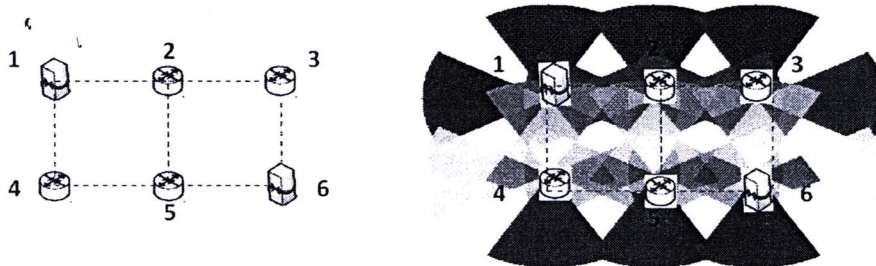
โดยพื้นที่ทั้ง B, C, D จะเป็นตำแหน่งที่ผู้เล่นฝ่ายโจมตีเลือก เพื่อให้สามารถดักฟังจำนวนเซสชันให้ได้มากที่สุดในการส่งข้อมูลฝั่งขาลง โดย พื้นที่ C จะสามารถดักฟังจุดเชื่อมต่อ {1, 2, 3, 5, 6} ได้ และในพื้นที่ D จะสามารถดักฟังจุดเชื่อมต่อ {1, 2, 3, 4, 5, 6} ได้ สุดท้ายพื้นที่ B จะสามารถดักฟังจุดเชื่อมต่อ {1, 2, 4, 5, 6} ได้ โดยโอกาสที่พื้นที่ B, C, D ถูกเลือกจะมีค่าความน่าจะเป็นเท่ากับ 0.32, 0.357 และ 0.323 ตามลำดับ ส่วนในกรณีของการส่งข้อมูลฝั่งขาขึ้นพื้นที่ A, D, E จะเป็นตำแหน่งในการโจมตีที่ดีที่สุดเช่นกัน จะสังเกตได้ว่าผู้เล่นฝ่ายโจมตีสามารถดักฟังข้อมูลที่ผ่านเกตเวย์ 1 และ 6 ได้ทั้ง 2 เกตเวย์พร้อมกันทำให้ไม่ว่า ผู้เล่นฝ่ายป้องกันเลือกการส่งข้อมูลแบบไหนก็จะมีเซสชันไหนปลอดภัยทั้งสิ้น

เพื่อให้เห็นข้อแตกต่างระหว่างการใช้สายอากาศรอบทิศทางกับสายอากาศระบุทิศทางในตัวอย่างต่อไปจะพิจารณาโครงข่ายเดียวกัน โดยให้ค่าบีมวิดิทของสายอากาศทุกตัวมีค่าเป็น

60 องศา และมีทิศทางของบีมพุ่งตามทิศทางการกระจัดไปยังจุดเชื่อมต่อหรือเกตเวย์ปลายทาง

จากงานวิจัย [14] ได้แสดงให้เห็นว่าการโจมตีด้วยการดักฟังข้อมูลและการส่งสัญญาณรบกวนในกรณีที่ฝ่ายป้องกันใช้สายอากาศรอบทิศทางนั้นจะมีผลทำให้ ESS เท่ากัน ทั้งการส่งข้อมูลฝั่งขาขึ้นและฝั่งขาลง แต่แผนการเล่นทั้งผู้เล่นฝ่ายป้องกันและผู้เล่นฝ่ายโจมตีจะแตกต่างกัน

4.1.2 การทดสอบกับโครงข่ายแบบตารางขนาด 2×3 ในกรณีที่ฝ่ายป้องกันใช้สายอากาศรอบทิศทาง



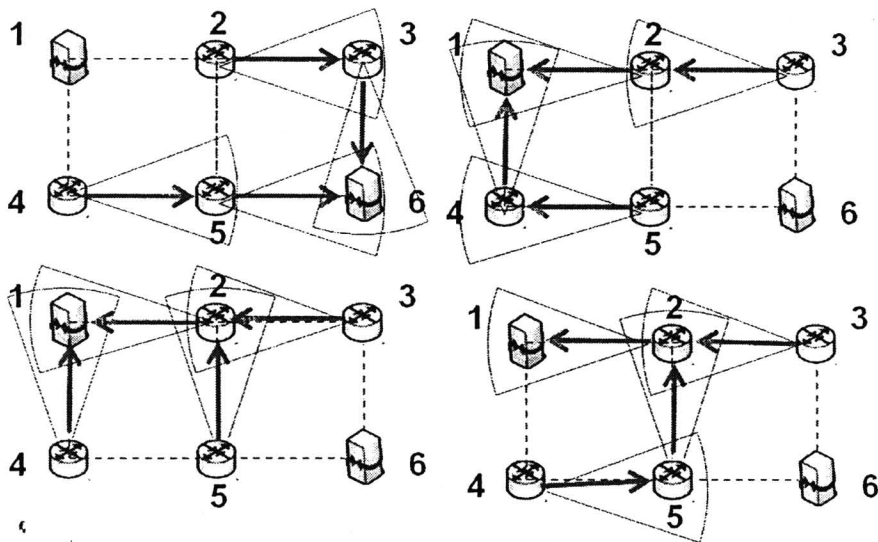
รูปที่ 4.3: โครงข่ายแบบตารางขนาด 2×3 และเขตของตำแหน่งในการดักฟังที่ส่งผลแตกต่างกันในกรณีสายอากาศรอบทิศทาง

จากรูปที่ 4.3 เป็นการทดสอบกับโครงข่ายแบบตารางขนาด 2×3 โดยโครงข่ายประกอบไปด้วยเกตเวย์ 2 ตัวอยู่ในตำแหน่งที่ 1 และ 6 ส่วนตำแหน่งโนดที่ 2 ถึง 5 จะทำหน้าที่เป็นจุดเชื่อมต่อซึ่งโนดทั้งหมดวางห่างกัน 20 หน่วยและกำหนดให้รัศมีในการส่งสัญญาณไร้สายในแต่ละโนดมีค่าเป็น 25 หน่วย และกำหนดให้บีมวิดท์ของโนดทุกโนดมีค่าเป็น 60 องศาโดยการทดสอบได้ทดสอบทั้ง 2 กรณีคือ การส่งข้อมูลฝั่งขาขึ้นและขาลง ซึ่งได้ผลการทดสอบดังนี้

4.1.2.1 กรณีการดักฟังข้อมูลในการส่งข้อมูลฝั่งขาขึ้น

เมื่อทำการทดสอบปรากฏว่าได้ค่า $ESS = 2$ ซึ่งหมายความว่า ถ้าผู้เล่นฝ่ายป้องกันเลือกรูปแบบการส่งด้วยทรีที่ดีที่สุดและผู้เล่นฝ่ายโจมตีเลือกโจมตีพื้นที่ที่ดีที่สุดเช่นกัน จะมีจำนวนเซสชันที่ปลอดภัย 2 เซสชัน หรือกล่าวอีกนัยหนึ่งได้ว่า ถ้าผู้เล่นฝ่ายป้องกันเลือกรูปแบบการส่งด้วยทรีที่ดีที่สุดแล้ว สามารถรับประกันได้ว่าค่าจำนวนเซสชันระหว่างจุดเชื่อมต่อกับเกตเวย์ที่ปลอดภัยจะไม่ต่ำกว่า 2 เซสชัน จากการทดสอบจะได้รูปแบบการส่งข้อมูลแบบทรีที่ดีที่สุดของฝ่ายป้องกันดังรูปที่ 4.4

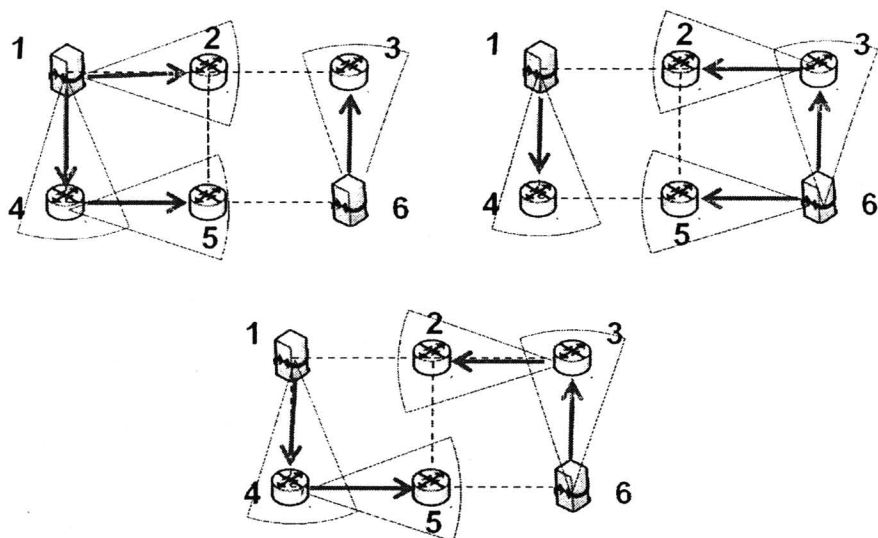
ซึ่งจากการทดสอบจะได้พื้นที่ในการโจมตีที่ดีที่สุดของผู้เล่นฝ่ายโจมตีเช่นกัน แต่ในกรณีนี้แผนการเล่นของผู้เล่นฝ่ายโจมตีหรือตำแหน่งในการโจมตีนั้นมีความน่าจะเป็นในการเลือกใกล้เคียงกัน ซึ่งจะอธิบายในตัวอย่างของการส่งข้อมูลฝั่งขาลง



รูปที่ 4.4: รูปแบบการส่งด้วยทรีที่ดีที่สุดของผู้เล่นฝ่ายป้องกันกรณีการส่งข้อมูลฝั่งขาขึ้น

4.1.2.2 กรณีการดักฟังข้อมูลการส่งข้อมูลฝั่งขาลง

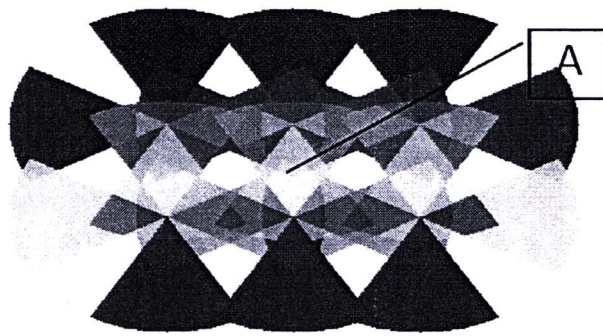
เมื่อทำการทดสอบปรากฏว่าได้ค่า $ESS = 2$ เหมือนกับกรณีของการส่งข้อมูลฝั่งขาขึ้น แต่เมื่อพิจารณาแผนของผู้เล่นทั้ง 2 ฝ่าย คือ ทั้งการเลือกรูปแบบการส่งด้วยทรีของฝ่ายป้องกันและการเลือกพื้นที่ในการดักฟังของฝ่ายโจมตี ปรากฏว่ามีรูปแบบไม่เหมือนกัน โดยรูปแบบการส่งข้อมูลแบบทรีที่ดีที่สุดของผู้เล่นฝั่งป้องกันแสดงดังรูปที่ 4.5



รูปที่ 4.5: รูปแบบการส่งแบบทรีที่ดีที่สุดของผู้เล่นฝ่ายป้องกันกรณีการส่งข้อมูลฝั่งขาลง

จากรูปที่ 4.4 และ 4.5 รูปแบบการส่งด้วยทรีจะมีรูปแบบที่สมมาตรกันเนื่องจากรูปแบบโครงข่ายมีความสมมาตรทำให้ผู้เล่นฝ่ายป้องกันสามารถเลือกรูปแบบหนึ่ง ๆ ขึ้นมาจาก

รูปแบบที่สมมาตรกันทั้งหมดโดยที่รูปแบบที่สมมาตรนั้นจะต้องไม่เปลี่ยนตำแหน่งการโจมตีของผู้เล่นฝ่ายโจมตีทำให้ค่าของเกมยังคงไม่เปลี่ยนแปลงและลดต้นทุนที่ใช้ได้เนื่องจากไม่จำเป็นจะต้องใช้บีมทุกบีมในการส่งข้อมูล นอกจากนี้จากการทดสอบได้พื้นที่ที่ดีที่สุดของผู้เล่นฝั่งโจมตีเพื่อการดักฟัง ดังรูปที่ 4.6



รูปที่ 4.6: เขตของตำแหน่งในการดักฟังที่ส่งผลแตกต่างกันทั้งการส่งข้อมูลฝั่งขาขึ้นและขาลง

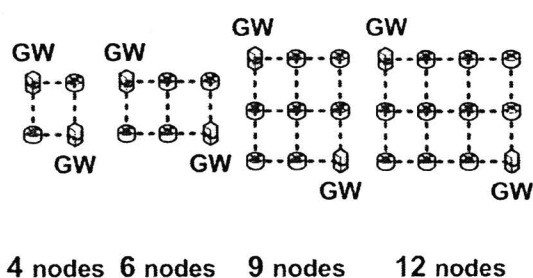
โดยพื้นที่ A จะเป็นตำแหน่งที่ผู้เล่นฝ่ายโจมตีเลือก เพื่อให้สามารถดักฟังจำนวนเซสชันให้ได้มากที่สุด ซึ่งการคำนวณจะแตกต่างจากกรณีของสายอากาศรอบทิศทางเนื่องจากในจุดเชื่อมต่อหนึ่งหนึ่งนั้นจะมีบีมออกไป 4 ทิศทาง วิธีการแสดงค่าพื้นที่ของผู้เล่นฝ่ายโจมตีจะแสดงโดยกำหนดให้ตัวเลขจำนวนเต็มหน้าทศนิยมแสดงถึงจุดเชื่อมต่อ และตัวเลขหลังทศนิยมหมายถึงทิศทางของบีมที่ใช้ส่งโดยอ้างอิงกับเข็มนาฬิกา เช่น 1.12 หมายถึง บีมที่อยู่ในจุดเชื่อมต่อที่ 1 และทิศทางบีมพุ่งไปด้านบนหรือ 12 นาฬิกา อีกตัวอย่างคือ 3.9 หมายถึง บีมที่อยู่ในจุดเชื่อมต่อที่ 3 และทิศทางบีมพุ่งไปด้านซ้ายหรือ 9 นาฬิกา พื้นที่ A จะสามารถดักฟังจุดเชื่อมต่อ $\{1.3, 2.6, 3.9, 4.3, 5.12, 6.9\}$ ได้ โดยพื้นที่ที่ดีที่สุดของฝ่ายโจมตีนั้นจะมีแค่พื้นที่เดียวในกรณีนี้ จากการทดสอบทำให้เห็นข้อแตกต่างระหว่างการใช้สายอากาศรอบทิศทางมาเป็นสายอากาศระบุทิศทางตรงที่ ผู้เล่นฝ่ายโจมตีไม่สามารถดักฟังพื้นที่บีมที่เกิดเวกเตอร์สองเวกเตอร์ใช้ในการส่งข้อมูลพร้อมกันได้ และต้องเลือกดักฟังแค่บางบีมเท่านั้นจึงทำให้ถ้าผู้เล่นฝ่ายป้องกันเลือกรูปแบบการส่งข้อมูลด้วยวิธีที่ดีที่สุดแล้วและผู้เล่นฝ่ายโจมตีเลือกพื้นที่ในการดักฟังที่ดีที่สุดเช่นกันจะมี 2 เซสชันที่ปลอดภัย ณ จุดสมดุลของเกม เนื่องจากกรณีการส่งข้อมูลขาขึ้นและขาลงมีรูปแบบแผนของผู้เล่นฝ่ายป้องกันและฝ่ายโจมตีที่ไม่เหมือนกันทำให้ต้องพิจารณาแยกกรณีในการป้องกันที่แตกต่างกัน

4.1.2.3 กรณีการส่งสัญญาณรบกวนในโครงข่าย

จากหัวข้อ 3.1 ที่ได้กล่าวมา ทำให้ทราบว่าจากรูปที่ 3.2 ในกรณีของการดักฟังข้อมูลนั้น ผู้เล่นฝ่ายโจมตีจะเลือกโจมตีตำแหน่งที่อยู่ในพื้นที่บีมที่มีทิศทางพุ่งจากโนดต้นทางไปยังโนดปลายทาง เพื่อที่จะทำให้เซสชันของโนดต้นทางนั้นไม่ปลอดภัย แต่ในทางกลับกันจากรูปที่ 3.3 ในกรณีของการส่งสัญญาณรบกวนผู้เล่นฝ่ายโจมตีจะเลือกพื้นที่บีมของโนดตัวรับที่หันบีมมารับข้อมูลจากโนดต้นทางแทนเพื่อที่จะทำให้เซสชันของโนดไม่ปลอดภัยหรือ

ไม่ได้ยืนยันสัญญาณ เนื่องจากในวิทยานิพนธ์นี้ได้กำหนดให้ผู้เล่นฝ่ายโจมตีในกรณีของการส่งสัญญาณรบกวนนั้นมีรัศมีของสัญญาณรบกวนเท่ากับรัศมีของการส่งแต่ละโนดจึงทำให้สรุปได้ว่า *ESS* และแผนการเล่นของทั้งฝ่ายป้องกันและฝ่ายโจมตีของกรณีการดักฟังข้อมูลในการส่งข้อมูลฝั่งขาขึ้นจะมีค่าเหมือนกันกับกรณีการส่งสัญญาณรบกวนในการส่งข้อมูลฝั่งขาลง ในทำนองเดียวกัน *ESS* และแผนการเล่นของทั้งสองฝ่ายของกรณีการดักฟังข้อมูลในการส่งข้อมูลฝั่งขาลงจะมีค่าเหมือนกันกับกรณีการส่งสัญญาณรบกวนในการส่งข้อมูลฝั่งขาขึ้นเช่นกัน

4.2 การทดสอบกับโครงข่ายแบบตารางที่มีขนาดใหญ่ขึ้น

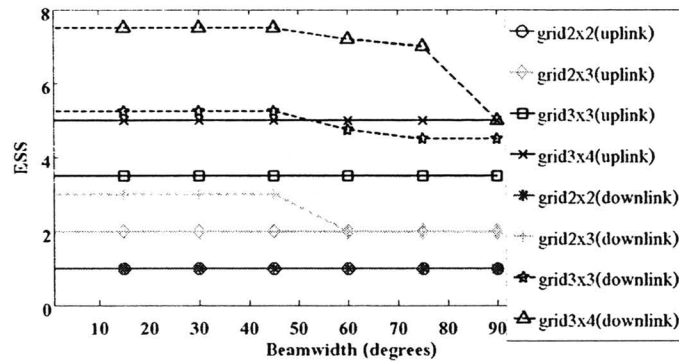


รูปที่ 4.7: โครงข่ายแบบตารางที่ใช้ในการทดสอบ

จาก [14] ได้มีการทดสอบกับโครงข่ายแบบตารางเนื่องจากเป็นโครงข่ายที่เชื่อมต่อแบบง่ายที่สามารถครอบคลุมพื้นที่ให้บริการได้โดยโครงข่ายที่นำมาทดสอบนั้นประกอบด้วยจุดเชื่อมต่อที่เป็นเกตเวย์ 2 จุดติดตั้งอยู่ที่มุมซ้ายบนและมุมขวาล่างของโครงข่าย ซึ่งในวิทยานิพนธ์นี้ได้ประยุกต์นำเอาสายอากาศระบุมิติทางเข้ามาเพื่อพัฒนาความปลอดภัยให้กับโครงข่ายมากยิ่งขึ้น รวมถึงได้ศึกษาและวิเคราะห์ผลกระทบต่าง ๆ ได้แก่ ผลกระทบของการเปลี่ยนแปลงค่าบีบอัด, ผลกระทบต่อโครงข่ายแบบหนาแน่น (dense network) และโครงข่ายแบบเบาบาง (sparse network), ผลกระทบต่อการเปลี่ยนตำแหน่งเกตเวย์ รวมถึงการวิเคราะห์ตำแหน่งของโนดแต่ละโนดที่มีผลต่อความปลอดภัยที่ต่างกันและสุดท้ายเป็นการเปรียบเทียบค่า *ESS* ว่ามีผลอย่างไรเมื่อผู้เล่นฝ่ายป้องกันและผู้เล่นฝ่ายโจมตีใช้วิธีอื่นนอกเหนือจากทฤษฎีเกม

4.2.1 ผลกระทบของการเปลี่ยนแปลงค่าบีบอัด

จากรูปที่ 4.8 เป็นกราฟแสดงความสัมพันธ์ระหว่าง *ESS* กับบีบอัดโดยทดสอบกับโครงข่ายแบบตารางดังรูปที่ 4.7 ซึ่งกำหนดให้ระยะทางในการส่งของโนดแต่ละโนดเท่ากันหมดและมีทิศทางในการส่งพุ่งตรงไปยังโนดปลายทางเสมอ จากผลการทดลองจะเห็นว่าในกรณีของการส่งข้อมูลฝั่งขาขึ้น ค่า *ESS* ที่ได้จะคงที่และไม่ขึ้นกับค่าบีบอัด โดยมีจำนวนเซสชันที่ปลอดภัยเป็นครึ่งหนึ่งของจำนวนเซสชันทั้งหมด เพราะในกรณีการส่งข้อมูลฝั่งขาขึ้น



รูปที่ 4.8: ความแตกต่างของค่า ESS เมื่อมีการเปลี่ยนแปลงบีมวิดท์

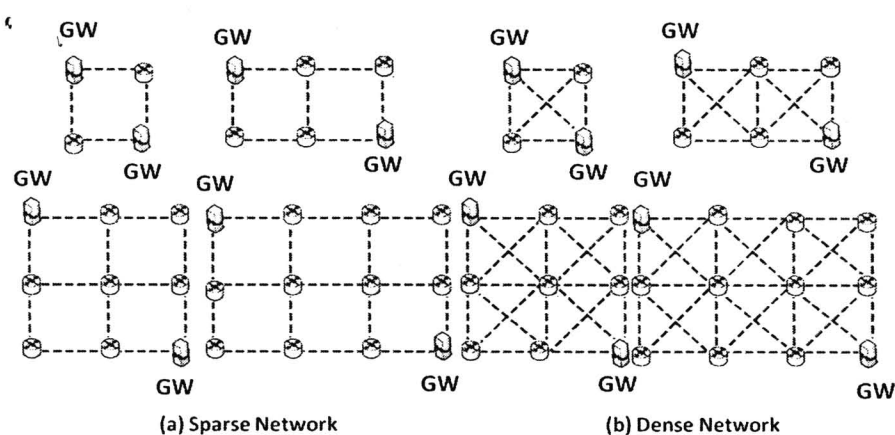
ผู้เล่นฝ่ายโจมตีจะสามารถดักฟังข้อมูลที่ส่งเข้ามายัง GW ตัวหนึ่งได้เสมอ และในโครงข่ายที่นำมาทดสอบนี้มี GW 2 ตัว ทำให้แผนการเล่นที่ดีที่สุดของผู้เล่นฝ่ายป้องกันคือการส่งข้อมูลไปยัง GW ทั้ง 2 ตัวแบบสุ่ม เพื่อหลีกเลี่ยงผู้เล่นฝ่ายโจมตีทำให้จำนวนเซสชันที่ปลอดภัยมีจำนวนครึ่งหนึ่งของจำนวนเซสชันทั้งหมด

ในกรณีการส่งข้อมูลฝั่งขาลงจะมีค่า ESS มากกว่ากรณีการส่งข้อมูลฝั่งขาขึ้น ภายใต้เงื่อนไขที่ว่าพื้นที่บีมที่ส่งออกจาก GW ตัวเดียวกันเพื่อส่งข้อมูลไปยังจุดเชื่อมต่อแต่ละตัวจะไม่ซ้อนทับกัน ซึ่งจากโครงข่ายแบบตารางที่นำมาทดสอบ ค่าบีมวิดท์จะต้องมีค่าไม่เกิน 90 องศา เพื่อให้เงื่อนไขตามที่กล่าวมาเป็นจริง ทำให้ในกรณีการส่งข้อมูลฝั่งขาลง แผนการเล่นที่ดีที่สุดของผู้เล่นฝ่ายโจมตีคือการไปดักฟังพื้นที่ที่มีการซ้อนทับกันของบีมที่มาจากจุดเชื่อมต่อต่าง ๆ มากที่สุด โดยการดักฟังพื้นที่ในกรณีนี้นั้นจะทำให้ดักฟังข้อมูลของเซสชันได้จำนวนน้อยกว่าในกรณีของการดักฟังบริเวณรอบ GW ของการส่งข้อมูลฝั่งขาขึ้น ยิ่งไปกว่านั้นในกรณีที่โครงข่ายมีขนาดใหญ่ขึ้น เนื่องจากมีจำนวน TAP ที่มากขึ้นเส้นทางในการส่งข้อมูลของผู้เล่นฝ่ายป้องกันเพื่อใช้ในการหลีกเลี่ยงจึงมีมากขึ้นด้วย ถึงแม้ว่าค่าบีมวิดท์จะมาก แต่ผู้เล่นฝ่ายโจมตีก็สามารถดักฟังข้อมูลจากโครงข่ายขนาดใหญ่ได้ยากกว่าโครงข่ายขนาดเล็ก และ ESS ในกรณีการส่งข้อมูลขาลงจะมีค่าลดลงเมื่อเพิ่มบีมวิดท์ โดยเมื่อเพิ่มบีมวิดท์ไปเรื่อย ๆ ค่า ESS จะลดลงก็ต่อเมื่อค่าบีมวิดท์ที่ค่านั้น ทำให้แผนของผู้เล่นฝ่ายโจมตีเปลี่ยนหรือทำให้เกิดพื้นที่ที่ผู้เล่นฝ่ายโจมตีมาดักฟังแล้วได้จำนวนเซสชันมากกว่าเดิม โดยเฉพาะอย่างยิ่งในบีมวิดท์ที่มีค่า 45 องศา จะเป็นค่าที่ทำให้เกิดพื้นที่ซ้อนทับของบีมเพิ่มขึ้น

จากผลการทดลองทำให้ขัดกับความรู้สึกที่ว่า เมื่อเราลดค่าบีมวิดท์ไปเรื่อย ๆ ค่า ESS จะไม่เพิ่มขึ้นตามเสมอไป ซึ่งในงานวิจัยนี้ได้นิยามต้นทุนแปรผกผันกับบีมวิดท์ ทำให้สามารถกล่าวอีกนัยได้ว่า การเพิ่มต้นทุนให้กับโครงข่ายนั้นอาจจะไม่ได้ทำให้ค่า ESS เพิ่มขึ้นเสมอไปยกตัวอย่างเช่นกรณีการดักฟังข้อมูลในการส่งข้อมูลฝั่งขาขึ้น ส่วนในกรณีการส่งข้อมูลฝั่งขาลงการเพิ่มต้นทุนจะต้องเพิ่มจนถึงค่าที่ทำให้บีมวิดท์แคบจนลดพื้นที่ที่เป็นแผนที่ดีที่สุดของผู้เล่นฝ่ายโจมตีใช้ในการโจมตีได้ จากผลการทดลองทำให้ทราบว่าในโครงข่ายรูปแบบต่าง ๆ ควรจะเพิ่มต้นทุนหรือลดบีมวิดท์เท่าไรเพื่อให้ค่า ESS นั้นเพิ่มขึ้น

4.2.2 การเปรียบเทียบค่า *ESS* ของโครงข่ายแบบหนาแน่นและโครงข่ายแบบเบาบางในโครงข่ายแบบตาราง

เพื่อต้องการศึกษาถึงการวางโครงข่ายแบบหนาแน่นและโครงข่ายแบบเบาบางโดยสมมติให้โครงข่ายที่ใช้ทดสอบจากรูปที่ 4.9(a) เป็นโครงข่ายแบบเบาบาง โดยกำหนดให้ระยะห่างระหว่างโนดห่างกัน 20 หน่วย และมีเกตเวย์ 2 ตัวอยู่ในตำแหน่งมุมซ้ายบนและมุมขวาล่าง กำหนดให้รัศมีการส่งสัญญาณไร้สายมีค่า 29 หน่วย หลังจากนั้นได้เพิ่มการเชื่อมต่อระหว่างโนดในแนวเส้นทะแยงมุมของทุกสี่เหลี่ยมในโครงข่ายแบบตารางดังรูปที่ 4.9(b) ทำให้กลายเป็นโครงข่ายแบบหนาแน่น ซึ่งการทดสอบทั้ง 2 กรณีนี้จะทดสอบที่ค่าบีมวิดท์ 45 องศา เพราะเป็นค่าบีมวิดท์ที่ค่ามากที่สุดที่ไม่ทำให้เซกเตอร์จากจุดเชื่อมต่อต้นทางเดียวกันซ้อนทับกัน



รูปที่ 4.9: โครงข่ายแบบเบาบางและโครงข่ายแบบหนาแน่น

ตารางที่ 4.1: ค่า *ESS* ที่โครงข่ายขนาดต่าง ๆ ทั้งแบบเบาบางและแบบหนาแน่นในกรณีการดักฟังข้อมูล

Network	grid 2x2 (uplink,downlink)	grid 2x3 (uplink,downlink)	grid 3x3 (uplink,downlink)	grid 3x4 (uplink,downlink)
sparse	(1,1)	(2,3)	(3.5,5)	(5,7.5)
dense	(1,1)	(2,3)	(3.5,5.5)	(5,8.5)

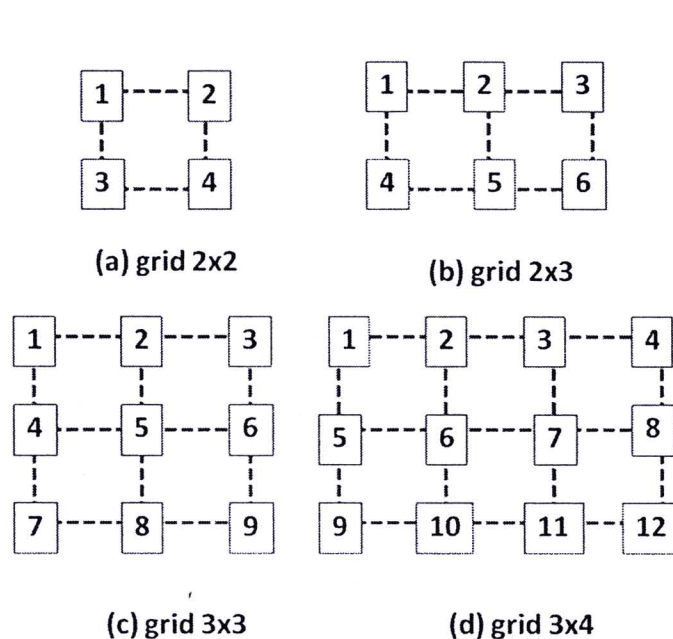
จากการทดสอบโครงข่ายในรูป 4.9(a) และ 4.9(b) พบว่าค่า *ESS* ของโครงข่ายแบบตารางขนาด 2x2 และ 2x3 ที่ได้มีค่าเท่ากันทั้งในกรณีการดักฟังและส่งสัญญาณรบกวน ข้อมูลดังตารางที่ 4.1 และ 4.2 โดยแผนในการเล่นของผู้เล่นฝ่ายป้องกันก็ยังคงเหมือนเดิมนั้นหมายความว่าสิ่งที่เราเพิ่มการเชื่อมต่อในแต่ละโนดให้มีเส้นทางการส่งที่มากขึ้นดังรูปที่ 4.9(b) ไม่ได้ช่วยเพิ่มค่า *ESS* หรือเพิ่มความปลอดภัยให้กับโครงข่าย เพราะ ตำแหน่งที่ดีที่สุดจากทฤษฎีเกมของผู้เล่นฝ่ายโจมตีใช้เพื่อโจมตีโครงข่ายนั้น สามารถโจมตีได้ครอบคลุม

ตารางที่ 4.2: ค่า ESS ที่โครงข่ายขนาดต่าง ๆ ทั้งแบบเบาบางและแบบหนาแน่นในกรณีการส่งสัญญาณรบกวน

Network	grid 2x2 (uplink,downlink)	grid 2x3 (uplink,downlink)	grid 3x3 (uplink,downlink)	grid 3x4 (uplink,downlink)
sparse	(1,1)	(3,2)	(5,3.5)	(7.5,5)
dense	(1,1)	(3,2)	(5.5,3.5)	(8.5,5)

ช่วยเชื่อมโยงตามเส้นทะแยงมุมที่ได้เพิ่มเข้ามาเนื่องจากโครงข่ายมีขนาดเล็ก ทำให้แผนที่ที่ดีที่สุดของผู้เล่นฝ่ายป้องกันในการส่งข้อมูลก็ยังคงเป็นการส่งตามเส้นรอบรูปของสี่เหลี่ยมในรูป 4.9(a) เหมือนเดิม ส่วนในกรณีโครงข่ายแบบตารางขนาด 3x3 และ 3x4 จะพบว่าการดักฟังข้อมูลในกรณีการส่งข้อมูลฝั่งขาลง โครงข่ายแบบหนาแน่นจะให้ค่า ESS มากกว่าโครงข่ายแบบเบาบาง เนื่องจากการเชื่อมต่อตามแนวเส้นทะแยงมุมที่เพิ่มเข้ามาเป็นการเพิ่มเส้นทางการส่งข้อมูลหลบหลีกผู้เล่นฝ่ายโจมตีให้กับเกตเวย์ทำให้ค่า ESS ในกรณีนี้เพิ่มขึ้น ส่วนในการดักฟังกรณีการส่งข้อมูลฝั่งขาขึ้นนั้นถึงแม้ว่าจะมีการเพิ่มการเชื่อมโยงตามเส้นทะแยงมุมเข้ามาผู้เล่นฝ่ายโจมตีก็ยังคงสามารถโจมตีบริเวณพื้นที่รอบเกตเวย์เป็นผลทำให้สามารถดักฟังข้อมูลจากบีมที่พุ่งเข้าหาเกตเวย์ทั้งหมดได้

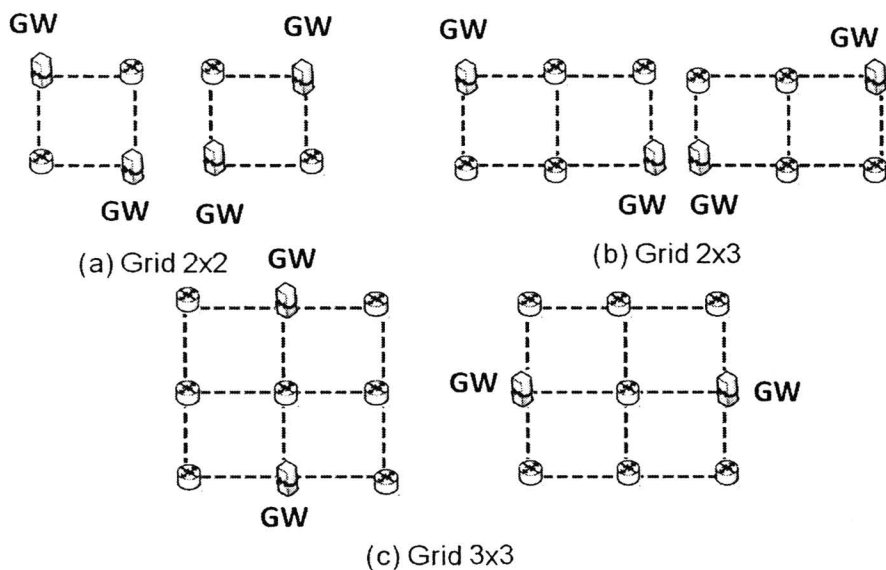
4.2.3 ผลกระทบต่อการเปลี่ยนตำแหน่งเกตเวย์



รูปที่ 4.10: ตัวเลขแทนตำแหน่งต่าง ๆ ในโครงข่ายแบบตาราง

ในหัวข้อการทดสอบนี้จะเป็นการศึกษาผลกระทบต่อค่า ESS เมื่อมีการเปลี่ยนตำแหน่งของเกตเวย์ โดยโครงข่ายที่นำมาทดสอบจะเป็นโครงข่ายดังรูปที่ 4.7 แต่ได้เปลี่ยนตำแหน่ง

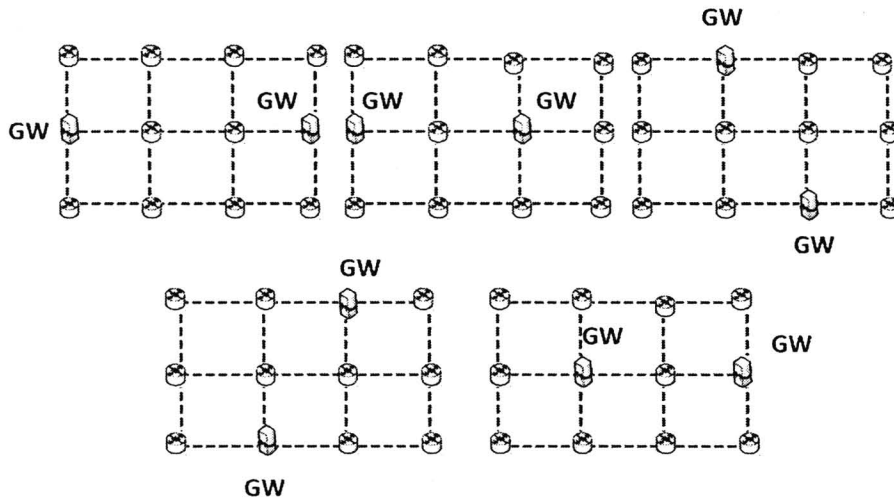
เกตเวย์ไปยังตำแหน่งต่าง ๆ แทนที่จุดเชื่อมต่อ โดยยังคงให้จำนวนของเกตเวย์มี 2 เกตเวย์เท่าเดิมและกำหนดให้ระยะห่างระหว่างโหนดแต่ละตัวเป็น 20 หน่วย โดยให้มีมิติที่มีค่า 45 องศา ส่วนรัศมีในการส่งแต่ละโหนดและรัศมีของการส่งสัญญาณรบกวนมีค่า 25 หน่วย ซึ่งตำแหน่งต่าง ๆ นั้นจะแทนด้วยตัวเลขดังรูปที่ 4.10 โดยผลการทดสอบโครงข่ายแบบตารางขนาด 2x2 ดังรูปที่ 4.10(a) พบว่า ตำแหน่งของเกตเวย์ที่ทำให้ค่า ESS สูงที่สุด คือ เกตเวย์อยู่ในตำแหน่งที่ 1, 4 ซึ่งหมายความว่าตำแหน่งที่ 2, 3 เป็นจุดเชื่อมต่อ เนื่องจากโครงข่ายเป็นโครงข่ายสมมาตรจึงสามารถให้เกตเวย์อยู่ในตำแหน่ง 2, 3 ได้ และให้ตำแหน่งที่ 1, 4 เป็นจุดเชื่อมต่อ ซึ่งการวางเกตเวย์แบบนี้จะทำให้ค่า ESS กรณีการดักฟังข้อมูลและการส่งสัญญาณรบกวนในการส่งข้อมูลฝั่งขาขึ้นและฝั่งขาลงมีค่าเท่ากับ 1 แต่ถ้าวางเกตเวย์แบบอื่น เช่น ให้เกตเวย์อยู่ในตำแหน่ง 1, 3 แล้ว จะทำให้ผู้เล่นฝ่ายโจมตีสามารถดักฟังข้อมูลที่ทั้งออกและเข้าจากเกตเวย์ทั้ง 2 ตัวได้พร้อมกันทำให้ค่า ESS ในทุกกรณีมีค่าเท่ากับ 0 เพราะฉะนั้นตำแหน่งการวางเกตเวย์ที่ดีที่สุดของโครงข่ายแบบตารางขนาด 2x2 จะเป็นดังรูปที่ 4.11(a)



รูปที่ 4.11: ตำแหน่งเกตเวย์ที่ทำให้ค่า ESS สูงที่สุดในโครงข่ายแบบตารางขนาด 2x2, 2x3, 3x3

หลังจากนั้นได้ทดสอบกับโครงข่ายแบบตารางแต่ละขนาดดังรูปที่ 4.10(b), 4.10(c), 4.10(d) ทำให้พบว่าค่า ESS ในเกตเวย์ตำแหน่งต่าง ๆ และจากการโจมตีทั้งแบบดักฟังข้อมูลและส่งสัญญาณรบกวนมีค่าเป็นเท่าใด โดยแสดงค่าต่าง ๆ ออกมาในตารางที่ 4.3, 4.4, 4.5 เนื่องจากโครงข่ายขนาด 3x3 และ 3x4 มีตำแหน่งที่เป็นไปได้ของเกตเวย์เป็นจำนวนมากเพื่อให้กระชั้นจะขอแสดงค่าแค่ตำแหน่งที่ไม่ซ้ำเท่านั้น เนื่องจากโครงข่ายมีความสมมาตรโดยตำแหน่งของเกตเวย์ที่ทำให้ค่า ESS สูงที่สุดจะแสดงในรูปที่ 4.11(a), 4.11(b), 4.11(c) และ 4.12

จากผลการทดสอบจะสังเกตได้ว่าตำแหน่งเกตเวย์ที่ทำให้ค่า ESS สูงที่สุด จะเป็นตำแหน่งที่มีค่าองศาอิสระ (degree of freedom) มากกว่าตำแหน่งที่องศาอิสระน้อย



รูปที่ 4.12: ตำแหน่งเกตเวย์ที่ทำให้ค่า ESS สูงที่สุดในโครงข่ายแบบตารางขนาด 3x4

ตารางที่ 4.3: ค่า ESS ในตำแหน่งเกตเวย์ต่าง ๆ ของโครงข่ายแบบตารางขนาด 2x3

Position of GW (GW1,GW2)	Eavesdropping-case ESS (uplink,downlink)	Jamming-case ESS (uplink,downlink)
(1,2)	(2,2)	(2,2)
(1,3)	(2,2.5)	(2.5,2)
(1,4)	(0,0)	(0,0)
(1,5)	(2,2)	(2,2)
(1,6)	(2,3)	(3,2)
(2,3)	(2,2)	(2,2)
(2,4)	(2,2)	(2,2)
(2,5)	(2,2)	(2,2)
(2,6)	(2,2)	(2,2)
(3,4)	(2,3)	(3,2)
(3,5)	(2,2)	(2,2)
(3,6)	(0,0)	(0,0)
(4,5)	(2,2)	(2,2)
(4,6)	(2,2.5)	(2.5,2)
(5,6)	(2,2)	(2,2)

เนื่องจากยังมีค่าองศาอิสระ มากก็ยิ่งเหมือนกับมีเส้นทางในการที่จะหลบหลีกผู้โจมตีได้มาก ข้อสังเกตข้อที่สองคือตำแหน่งเกตเวย์ทั้งสองตัวนั้นจะต้องไม่อยู่ติดกัน ยกตัวอย่างเช่นในกรณีโครงข่ายขนาด 3x4 ถ้าเราให้เกตเวย์มีตำแหน่งที่ 6, 7 แล้ว จะเห็นได้ว่าที่ตำแหน่งเกตเวย์ทั้งสองอยู่มีค่าองศาอิสระ 4 ทั้งคู่ซึ่งเป็นค่าที่มากที่สุดถ้าเทียบกับที่ตำแหน่ง

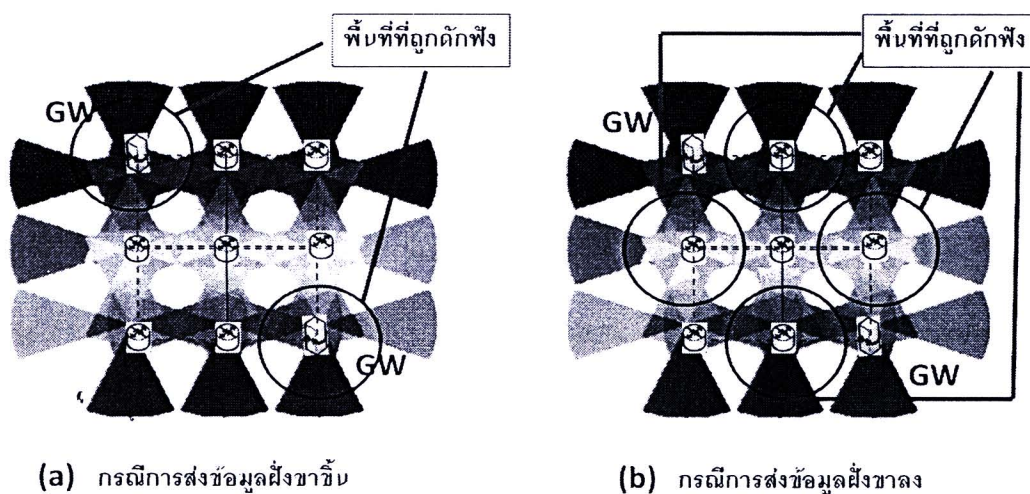
ตารางที่ 4.4: ค่า *ESS* ในตำแหน่งเกตเวย์ต่าง ๆ ของโครงข่ายแบบตารางขนาด 3x3

Position of GW (GW1,GW2)	Eavesdropping-case <i>ESS</i> (uplink,downlink)	Jamming-case <i>ESS</i> (uplink,downlink)
(1,2)	(3.5,5)	(5,3.5)
(1,3)	(3.5,4)	(4,3.5)
(1,5)	(3.5,4.5)	(4.5,3.5)
(1,6)	(3.5,5)	(5,3.5)
(1,9)	(3.5,5)	(5,3.5)
(2,4)	(3.5,4.5)	(4.5,3.5)
(2,5)	(3.5,4.5)	(4.5,3.5)
(2,8)	(3.5,5.5)	(5.5,3.5)

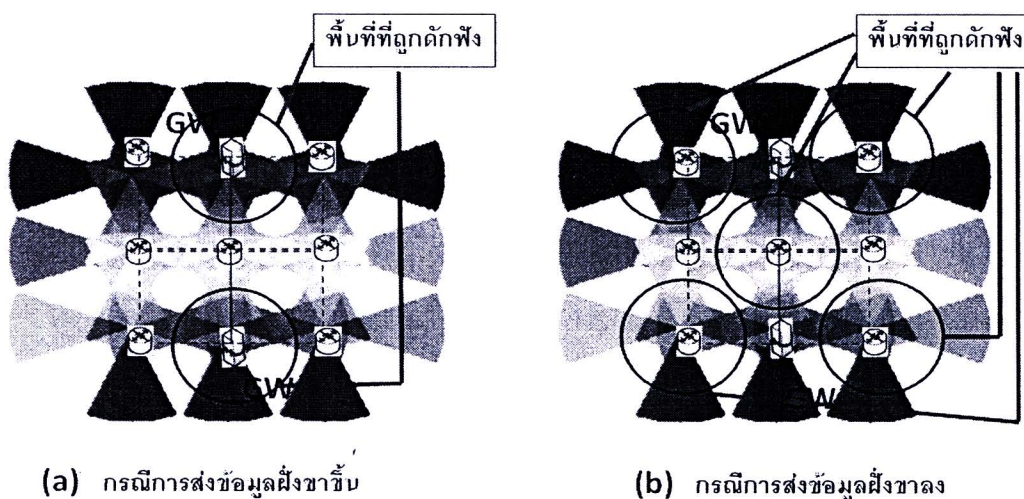
ตารางที่ 4.5: ค่า *ESS* ในตำแหน่งเกตเวย์ต่าง ๆ ของโครงข่ายแบบตารางขนาด 3x4

Position of GW (GW1,GW2)	Eavesdropping-case <i>ESS</i> (uplink,downlink)	Jamming-case <i>ESS</i> (uplink,downlink)
(1,2)	(5,5)	(5,5)
(1,3)	(5,6)	(6,5)
(1,4)	(5,6)	(6,5)
(1,5)	(5,5)	(5,5)
(1,9)	(5,5.5)	(5.5,5)
(1,10)	(5,6.5)	(6.5,5)
(1,11)	(5,7.5)	(7.5,5)
(1,12)	(5,7.6)	(7.6,5)
(2,5)	(5,6)	(6,5)
(2,6)	(5,6)	(6,5)
(2,6)	(5,7.3)	(7.3,5)
(2,10)	(5,7)	(7,5)
(2,11)	(5,8)	(8,5)
(5,7)	(5,8)	(8,5)
(5,8)	(5,8)	(8,5)
(6,7)	(5,7.3)	(7.3,5)

อื่น ๆ แต่กลับมีค่า *ESS* กรณีดักฟังข้อมูลในการส่งข้อมูลฝั่งขาลงน้อยกว่าในกรณีที่เกตเวย์วางอยู่ในรูปที่ 4.12 ทั้งนี้เพราะเมื่อเกตเวย์ทั้งสองตัวติดกันแล้วทำให้ผู้เล่นฝ่ายโจมตีสามารถดักฟังหรือส่งสัญญาณรบกวนข้อมูลที่ออกมาจากเกตเวย์ทั้งสองตัวพร้อมกันได้จึงเป็นเหตุทำให้ค่า *ESS* ลดต่ำลง



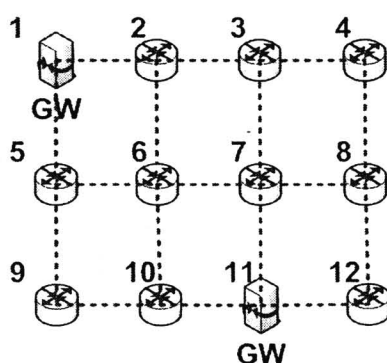
รูปที่ 4.13: พื้นที่ที่ผู้เล่นฝ่ายโจมตีเลือกในการโจมตีกรณีของการดักฟังข้อมูลของโครงข่ายแบบตารางขนาด 3x3 โดยมีเกตเวย์ในตำแหน่งที่ 1, 9



รูปที่ 4.14: พื้นที่ที่ผู้เล่นฝ่ายโจมตีเลือกในการโจมตีกรณีของการดักฟังข้อมูลของโครงข่ายแบบตารางขนาด 3x3 โดยมีเกตเวย์ในตำแหน่งที่ 2, 8

ข้อสังเกตอีกอย่างหนึ่งคือในโครงข่ายที่มีขนาดใหญ่ในที่นี่คือขนาด 3×3 และ 3×4 จะพบว่า การเปลี่ยนตำแหน่งของเกตเวย์นั้น ไม่มีผลต่อค่า *ESS* กรณีของการดักฟังข้อมูลในการส่งข้อมูลฝั่งขาขึ้นหรือการส่งสัญญาณรบกวนในการส่งข้อมูลฝั่งขาลง แต่จะมีผลเฉพาะกรณีการดักฟังข้อมูลในการส่งข้อมูลฝั่งขาลงและการส่งสัญญาณรบกวนในการส่งข้อมูลฝั่งขาขึ้นเท่านั้น เพื่อความชัดเจนและไม่สับสนจะขออธิบายจากการโจมตีแบบดักฟัง เหตุที่การเปลี่ยนตำแหน่งของเกตเวย์ส่งผลต่อ *ESS* กรณีการส่งข้อมูลฝั่งขาลงเท่านั้น เพราะในการส่งข้อมูลฝั่งขาขึ้นผู้เล่นฝ่ายโจมตีจะเลือกดักฟังข้อมูลในพื้นที่รอบ ๆ เกตเวย์เท่านั้น ซึ่งแสดงในรูปที่ 4.13(a) และ 4.14(a) ทำให้ไม่ว่าจะย้ายตำแหน่งเกตเวย์ไปจุดใดผู้เล่นฝ่ายโจมตีก็จะยังคงโจมตีบริเวณรอบเกตเวย์ทั้งสองตัวเช่นเดิมเปรียบได้กับมีประตูทางหนึ่งอยู่ 2 ประตูเท่านั้นทำให้ค่าความน่าจะเป็นในการหนีไปทางเกตเวย์ตัวที่ 1 และ 2 มีค่าอย่างละครึ่งเท่ากันจึงเป็นผลทำให้ค่า *ESS* กรณีการส่งข้อมูลฝั่งขาขึ้นมีค่าเป็นครึ่งหนึ่งของจำนวนเซสชันทั้งหมดเสมอ ถ้าหากว่าต้องการจะเพิ่มค่า *ESS* ของการส่งข้อมูลฝั่งขาขึ้นจะต้องเพิ่มที่จำนวนเกตเวย์แทน ต่อมาในส่วนการส่งข้อมูลฝั่งขาลงนั้นแผนที่ที่ดีที่สุดของผู้เล่นฝ่ายโจมตีคือเลือกดักฟังข้อมูลบริเวณรอบ ๆ จุดเชื่อมต่อที่ติดกับเกตเวย์ดังรูปที่ 4.13(b) และ 4.14(b) จึงทำให้การที่เกตเวย์มีค่าองศาอิสระมากเช่นตัวอย่างที่เกตเวย์อยู่ตำแหน่งที่ 2, 8 ดังรูปที่ 4.14 เกตเวย์ทั้งสองตัวมีค่าองศาอิสระตัวละ 3 ซึ่งเมื่อเทียบกับโครงข่ายที่เกตเวย์ตั้งอยู่ตำแหน่งที่ 1, 9 ดังรูปที่ 4.13 ซึ่งเกตเวย์แต่ละตัวมีค่าองศาอิสระอย่างละ 2 แล้ว ทำให้ผู้โจมตีจากที่โจมตีแค่ 4 บริเวณดังรูปที่ 4.13(b) กลับต้องเพิ่มมาโจมตี 5 บริเวณดังรูปที่ 4.14(b) จึงเป็นเหตุทำให้เส้นทางส่งข้อมูลหลบหลีกผู้เล่นฝ่ายโจมตีมีหลากหลายเส้นทางมากขึ้นเป็นผลทำให้ค่า *ESS* ในกรณีการส่งข้อมูลฝั่งขาลงมีค่าเพิ่มขึ้น

4.2.4 ผลกระทบของการเพิ่มรัศมีการส่งสัญญาณไร้สายของโนดในโครงข่าย

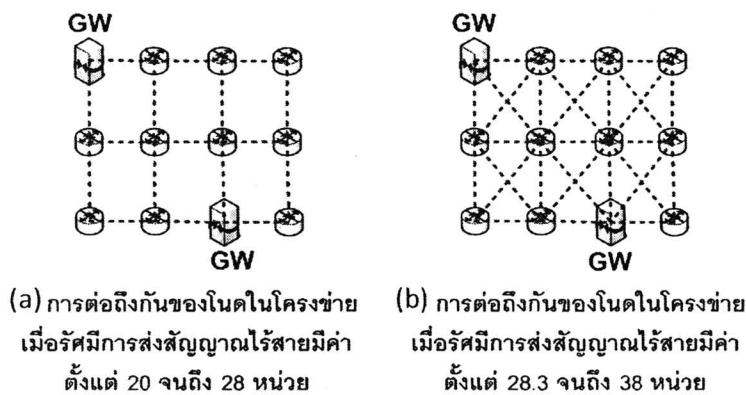


รูปที่ 4.15: โครงข่ายแบบตารางขนาด 3×4 ที่ใช้ศึกษาผลกระทบต่อการเพิ่มรัศมีการส่งสัญญาณไร้สายของโนดในโครงข่าย

การทดสอบในหัวข้อนี้เป็นการศึกษาต่อจากงานวิจัย [14] เพื่อศึกษาผลกระทบเมื่อเพิ่มรัศมีการส่งสัญญาณให้กับโนดในโครงข่ายไร้สายแบบเมช โดยทดสอบทั้งกรณีการดักฟังข้อมูลและการส่งสัญญาณรบกวน ซึ่งในกรณีของการส่งสัญญาณรบกวนนั้นจะให้รัศมีการส่งสัญญาณรบกวนมีค่าเพิ่มขึ้นเท่ากับรัศมีการส่งของโนดในโครงข่ายเพื่อให้ผู้เล่นฝ่าย

โจมตีมีความเท่าเทียมไม่เสียเปรียบผู้เล่นฝ่ายป้องกัน เนื่องจากต้องการที่จะศึกษาผลกระทบของผู้เล่นฝ่ายป้องกันที่ใช้สายอากาศรอบทิศทางเปรียบเทียบกับสายอากาศระบุทิศทางจึงได้ทดสอบกับโครงข่ายที่ใช้ศึกษาผลกระทบของการเพิ่มรัศมีการส่งสัญญาณไร้สายจากงานวิจัย [14] โดยโครงข่ายที่นำมาทดสอบนั้นเป็นโครงข่ายที่มีโนดที่ 1 และ 11 เป็นเกตเวย์ดังรูปที่ 4.15 ส่วนโนดที่เหลืออีก 10 โหนดจะเป็นจุดเชื่อมต่อผ่านทั้งหมด กำหนดให้ระยะทางระหว่างโนดเป็น 20 หน่วย ทั้งในแนวแกนตั้งและแนวแกนนอน โดยโนดทุกโนดจะมีรัศมีการส่งสัญญาณไร้สายเริ่มต้นจาก 20 จนถึง 39 หน่วย สาเหตุที่เพิ่มรัศมีการส่งสัญญาณไร้สายถึงแค่ 39 หน่วยเป็นเพราะถ้าหากเพิ่มรัศมีการส่งสัญญาณถึง 39 หน่วยไปแล้วนั้นจะทำให้โนดในแกนเดียวกันสามารถส่งสัญญาณข้ามไปถึงกันได้ ยกตัวอย่างเช่นจากรูป 4.15 โหนด 1 จะสามารถส่งสัญญาณไร้สายไปถึงโนดที่ 3 ได้ ทำให้ขัดกับเงื่อนไขที่กำหนดไว้ในหัวข้อที่ 3.3.1 นั่นคือจะไม่สามารถรับค่าบิตวิธิต์ที่ทำให้ส่งข้อมูลไปยังโนดที่ 2 และโนดที่ 3 โดยใช้คนละเซกเตอร์ได้ ส่วนในกรณีของการส่งสัญญาณรับกวนก็ได้เพิ่มรัศมีการส่งสัญญาณรับกวนจาก 20 จนถึง 39 หน่วยเช่นกัน

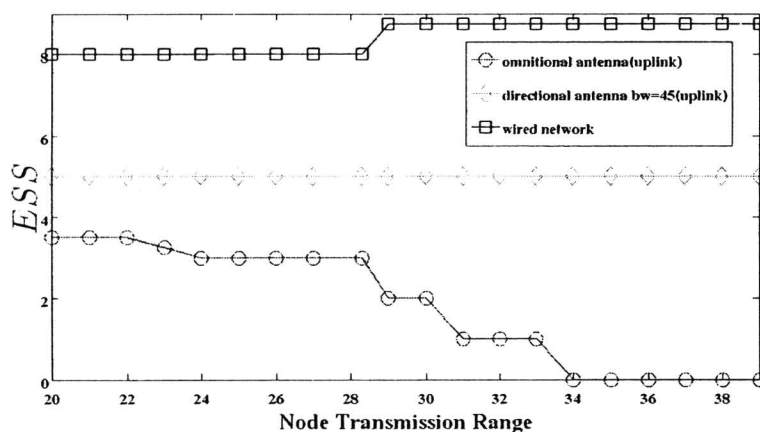
โดยในงานวิจัยนี้จะเปรียบเทียบกรณีที่ผู้เล่นฝ่ายป้องกันใช้สายอากาศระบุทิศทางกับสายอากาศรอบทิศทางและแบบโครงข่ายแบบสาย (wired network) ซึ่งในกรณีของสายอากาศระบุทิศทางนั้นจะเลือกใช้บิตวิธิต์ที่มีค่า 45 องศา เพราะจำเมื่อเพิ่มรัศมีการส่งสัญญาณถึง 28.3 หน่วยจะทำให้การเชื่อมต่อถึงกันของโครงข่ายจากโครงข่ายแบบบางจะกลายเป็นโครงข่ายแบบหนาแน่นดังรูปที่ 4.16 เมื่อโครงข่ายมีการเชื่อมต่อกันแบบรูปที่ 4.16(b) แล้ว ค่าบิตวิธิต์ที่ค่ามากที่สุดที่ไม่ทำให้เซกเตอร์จากจุดเชื่อมต่อต้นทางเดียวกันซ้อนทับกันจะมีค่าเท่ากับ 45 องศาทำให้กำหนดค่าบิตวิธิต์ที่ 45 องศาเป็นตัวแปรคงที่



รูปที่ 4.16: การต่อถึงกันที่เปลี่ยนไปเมื่อโนดในโครงข่ายไร้สายแบบเมชมีรัศมีการส่งสัญญาณเพิ่มขึ้น

จากผลการทดสอบพบว่าเมื่อเพิ่มรัศมีการส่งของโนดแต่ละโนดแล้วจะสามารถแยกวิเคราะห์แนวโน้มที่เกิดขึ้นได้ 3 กรณี คือ การดักฟังข้อมูลในการส่งข้อมูลฝั่งขาขึ้น การดักฟังข้อมูลในการส่งข้อมูลฝั่งขาลงและการส่งสัญญาณรบกวน โดยในแต่ละกรณีจะวิเคราะห์เปรียบเทียบผลที่ผู้เล่นฝ่ายป้องกันใช้สายอากาศระบุทิศทางกับสายอากาศรอบทิศทางและยังมีการเทียบกับโครงข่ายแบบมีสายด้วย ซึ่งได้ผลดังรูปที่ 4.17, 4.18 และ 4.19

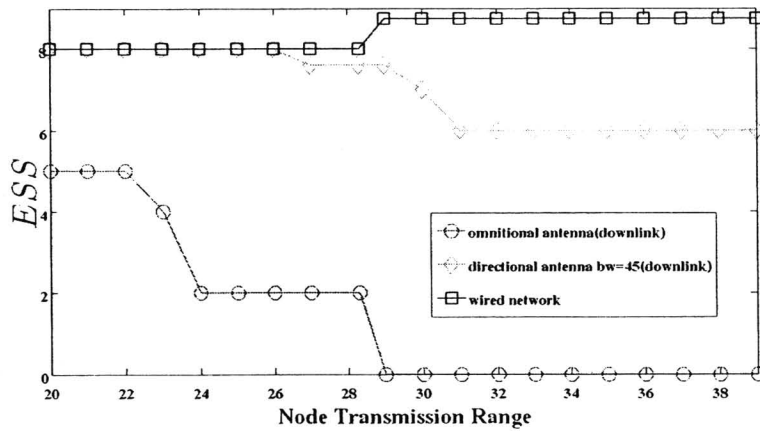
จากรูปที่ 4.17 จะแสดงให้เห็นว่าการเพิ่มรัศมีการส่งสัญญาณของโนดไร้สายในกรณีที่ใช้สายอากาศรอบทิศทางนั้น การเพิ่มรัศมีการส่งสัญญาณของโนดแต่ละโนดจะทำให้เกิด



รูปที่ 4.17: ผลกระทบของการเพิ่มรัศมีของโหนดในโครงข่ายจากการถูกโจมตีแบบดักฟังข้อมูลในการส่งข้อมูลฝั่งขาขึ้น

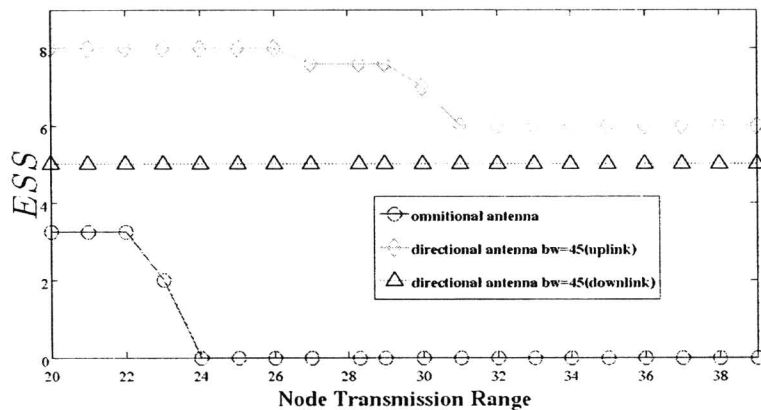
พื้นที่ที่ทำให้ผู้เล่นฝ่ายโจมตีสามารถดักฟังได้หลายคู่สายสื่อสารมากขึ้นทำให้ยิ่งเพิ่มรัศมีการส่งสัญญาณมากขึ้นเท่าไรค่า ESS ก็จะมีลดลงไปเรื่อย ๆ จนค่าเป็นศูนย์ในที่สุด ซึ่งค่าที่ลดลงเป็นขั้น ๆ แสดงถึงการเกิดพื้นที่ใหม่ที่ทำให้ผู้เล่นฝ่ายโจมตีสามารถดักฟังข้อมูลได้มากขึ้น ส่วนในกรณีที่ผู้เล่นฝ่ายป้องกันใช้สายอากาศระบุทิศทางนั้นไม่มีผลต่อ ESS เพราะเนื่องจากการดักฟังข้อมูลในการส่งข้อมูลฝั่งขาขึ้นนั้น ผู้เล่นฝ่ายโจมตีจะเลือกโจมตีพื้นที่รอบบริเวณเกตเวย์ทั้งสองตัวเสมอนั้นคือเลือกพื้นที่ระหว่างเกตเวย์ตัวที่แรกหรือตัวที่สอง ทำให้จำนวนเซสชันที่ปลอดภัยมีค่าเป็นครึ่งหนึ่งของจำนวนเซสชันทั้งหมดเสมอนั้นก็คือมีค่าเท่ากับ 5 โดยทราบเท่าที่การเพิ่มรัศมีของโหนดทำให้บีมที่หันทิศทางเข้าเกตเวย์ตัวแรกไม่ไปซ้อนทับกับพื้นที่บีมจากโหนดอื่น ๆ ที่ส่งเข้าหาเกตเวย์ตัวที่สองแล้ว ค่า ESS ของผู้เล่นฝ่ายป้องกันใช้สายอากาศระบุทิศทางจากการถูกโจมตีแบบดักฟังข้อมูลในการส่งข้อมูลฝั่งขาขึ้นจะมีค่าคงที่ ส่วนเมื่อเปรียบเทียบกับโครงข่ายแบบมีสายปรากฏว่าค่า ESS ของโครงข่ายมีสายจะคงที่ตลอดจนถึงค่ารัศมีเกิน 28.3 เพราะการเพิ่มรัศมีของโหนดนั้นจะมีผลต่อ ESS ของโครงข่ายแบบมีสายก็ต่อเมื่อมีการเปลี่ยนแปลงรูปแบบโครงข่ายเกิดขึ้นเท่านั้น ทำให้เมื่อรัศมีของทุกโหนดเกิน 28.3 หน่วยแล้ว รูปแบบโครงข่ายจะเปลี่ยนไปดังรูปที่ 4.16 ทำให้ผู้เล่นฝ่ายป้องกันมีเส้นทางในการที่จะหลบหลีกผู้เล่นฝ่ายโจมตีมากยิ่งขึ้นจึงเป็นผลทำให้ค่า ESS มีค่าสูงขึ้นเมื่อรัศมีการส่งสัญญาณมีค่ามากกว่า 28.3 หน่วย

จากรูปที่ 4.18 แสดงให้เห็นว่าการเพิ่มรัศมีของการส่งสัญญาณทุกโหนดในโครงข่ายไร้สายทำให้ค่า ESS ของผู้เล่นฝ่ายป้องกันที่ใช้สายอากาศระบุทิศทางจากการถูกโจมตีแบบดักฟังในการส่งข้อมูลฝั่งขาลงมีค่าลดลงเป็นขั้น ๆ เนื่องจากการเพิ่มรัศมีของโหนดนั้นทำให้เกิดพื้นที่ที่ซ้อนทับกันของบีมเพิ่มมากขึ้นจึงทำให้ผู้เล่นโจมตีดักฟังข้อมูลได้มากขึ้นซึ่งเหมือนกับในกรณีที่เพิ่งกล่าวมา แต่ในกรณีของการส่งข้อมูลฝั่งขาลงนี้ ESS ของผู้เล่นฝ่ายป้องกันใช้สายอากาศระบุทิศทางนั้นจะมีค่าลดลงจาก ESS ของโครงข่ายแบบมีสายลดลงไปเรื่อย ๆ จนหยุดที่ค่าค่าหนึ่งซึ่งหมายความว่า การเพิ่มรัศมีของโหนดไร้สายนั้นไม่สามารถเพิ่มพื้นที่ซ้อนทับกันของบีมที่จะทำให้ผู้เล่นฝ่ายโจมตีสามารถโจมตีได้ร้ายแรงมากขึ้นไปกว่านี้ ซึ่งจะแตกต่าง



รูปที่ 4.18: ผลกระทบของการเพิ่มรัศมีของโนดในโครงข่ายจากการถูกโจมตีแบบดักฟังข้อมูลในการส่งข้อมูลฝั่งขาหลัง

กับกรณีที่ผู้เล่นฝ่ายป้องกันใช้สายอากาศรอบทิศทางซึ่งเมื่อเพิ่มรัศมีของโนดไปถึงค่าที่ทำให้ผู้เล่นฝ่ายโจมตีสามารถโจมตีจุดเชื่อมต่อทุกจุดได้พร้อมกันจึงทำให้ค่า ESS ในกรณีนี้เป็นศูนย์

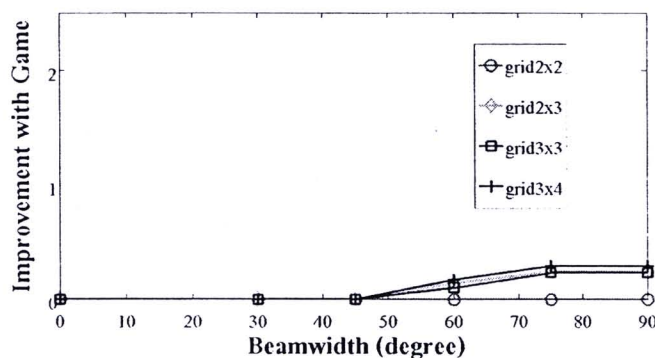


รูปที่ 4.19: ผลกระทบของการเพิ่มรัศมีของโนดในโครงข่ายจากการถูกโจมตีแบบส่งสัญญาณรบกวน

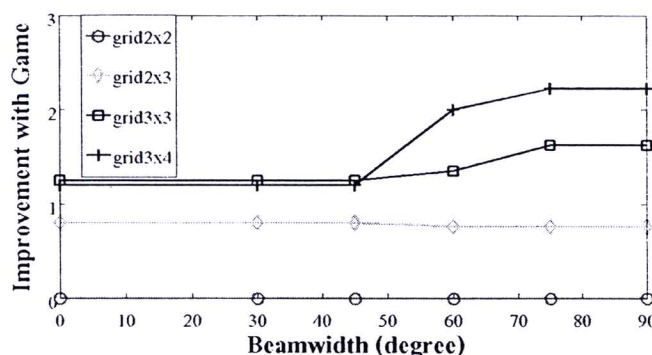
จากรูปที่ 4.19 แสดงให้เห็นว่าค่า ESS ที่เกิดจากการถูกส่งสัญญาณรบกวนในการส่งข้อมูลทั้งฝั่งขาขึ้นและฝั่งขาลงมีค่าไม่เท่ากัน ซึ่งแตกต่างจากค่า ESS กรณีที่ผู้เล่นฝ่ายป้องกันใช้สายอากาศรอบทิศทางซึ่งในงานวิจัยที่ [14] สรุปไว้ว่าการส่งสัญญาณรบกวนนั้นผู้เล่นฝ่ายโจมตีจะคำนึงแต่รัศมีการส่งของสัญญาณรบกวนเท่านั้น แต่ไม่ได้คำนึงถึงพื้นที่รัศมีของโนดที่ใช้ส่งข้อมูลในโครงข่าย ซึ่งแตกต่างจากการกรณีที่ใช้สายอากาศระบุทิศทางตรงที่ผู้เล่นฝ่ายโจมตีจะไม่ได้เพียงคำนึงถึงแต่รัศมีของสัญญาณรบกวนที่จะต้องครอบคลุมโนดที่จะโจมตีเท่านั้น แต่จะต้องอยู่ในตำแหน่งพื้นที่บีมที่โนดภาครับนั้นหันทิศทางมาเพื่อรับบีมจากโนดภาคส่งด้วยถึงจะสามารถรบกวนสัญญาณได้สำเร็จ โดยผลการทดสอบกรณีการส่ง

สัญญาณรบกวนในการส่งข้อมูลฝั่งขาขึ้นและฝั่งขาลงนั้นจะกลับกันกับของการดักฟังข้อมูลในการส่งข้อมูลฝั่งขาลงและฝั่งขาขึ้นซึ่งตามที่ได้กล่าวในข้างต้นแล้ว

4.2.5 ผลกระทบ ต่อ *ESS* ในกรณีผู้เล่นฝ่ายป้องกันส่งข้อมูลแต่ละทิศทางด้วยความน่าจะเป็นแบบยูนิฟอร์ม



รูปที่ 4.20: ผลต่างระหว่าง *ESS* ในกรณีผู้เล่นฝ่ายป้องกันส่งข้อมูลโดยใช้ทฤษฎีเกมกับการส่งแบบยูนิฟอร์มในการส่งข้อมูลฝั่งขาขึ้น



รูปที่ 4.21: ผลต่างระหว่าง *ESS* ในกรณีผู้เล่นฝ่ายป้องกันส่งข้อมูลโดยใช้ทฤษฎีเกมกับการส่งแบบยูนิฟอร์มในการส่งข้อมูลฝั่งขาลง

จากรูปที่ 4.20 และ 4.21 เป็นความสัมพันธ์ระหว่างผลต่างของ *ESS* ในกรณีที่ผู้เล่นฝ่ายป้องกันส่งข้อมูลโดยใช้ทฤษฎีเกมกับ *ESS* ที่ส่งแบบยูนิฟอร์มเทียบกับค่าบีมวิดท์ แสดงให้เห็นว่าในกรณีของการส่งข้อมูลฝั่งขาขึ้น เมื่อค่าบีมวิดท์ต่ำกว่า 45 องศา การส่งข้อมูลแบบทฤษฎีเกมจะไม่ได้เพิ่มความสามารถในการหลบหลีกผู้เล่นฝ่ายโจมตี นั่นก็เพราะว่าจากผลที่กล่าวใน หัวข้อ 4.2.1 ทำให้รู้ว่าแผนที่ที่ดีที่สุดของผู้เล่นฝ่ายป้องกันคือการส่งข้อมูลไปยัง GW 2 ตัวแบบสุ่ม ซึ่งการเลือกรูปแบบทรีในการส่งก็ไม่ได้แตกต่างจากการส่งแบบยูนิฟอร์ม ส่วนในกรณีเมื่อบีมวิดท์มีค่ามากกว่า 45 องศา จะเห็นได้ว่าในโครงข่ายตารางขนาด 2x3,

3x3, 3x4 การส่งแบบทฤษฎีเกมจะสามารถเพิ่มความสามารถในการหลบหลีกผู้เล่นฝ่ายโจมตีได้ เนื่องจากบีมวิดท์ที่เพิ่มขึ้นทำให้เกิดพื้นที่ที่เกิดจากการซ้อนทับกันของบีมแล้วทำให้ผู้เล่นฝ่ายโจมตีเลือกพื้นที่นั้นในการดักฟังแล้วได้จำนวนเซสชันที่มากขึ้น ซึ่งถ้าผู้เล่นฝ่ายป้องกันยังคงส่งข้อมูลแบบ ยูนิฟอร์มแล้ว จะทำให้จำนวนเซสชันที่ปลอดภัยจะน้อยกว่าครึ่งหนึ่งของจำนวนเซสชันทั้งหมด การส่งแบบทฤษฎีเกมจึงจำเป็นที่จะต้องใช้ในกรณีนี้ อย่างไรก็ตามในโครงข่ายตารางขนาด 2x2 จะเห็นได้ว่าการส่งข้อมูลแบบทฤษฎีเกมไม่ได้เพิ่มความสามารถในการหลบหลีกผู้โจมตีได้เลย เพราะว่าโครงข่ายมีขนาดเล็กมากจนไม่ว่าผู้เล่นฝ่ายป้องกันจะพยายามส่งข้อมูลด้วยทฤษฎีเกมแบบไหนก็ไม่สามารถหลบหลีกผู้เล่นฝ่ายโจมตีได้ดีไปกว่าการส่งข้อมูลแบบยูนิฟอร์ม

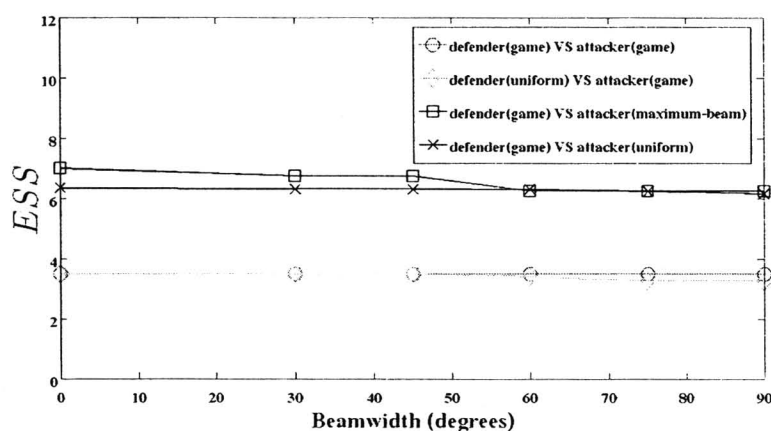
เมื่อพิจารณาการส่งข้อมูลฝั่งขาหลังพบว่าการส่งข้อมูลแบบทฤษฎีเกมจะเพิ่มความสามารถในการหลบหลีกผู้เล่นฝ่ายโจมตีได้มากกว่าในกรณีของการส่งข้อมูลฝั่งขาขึ้นมาก เนื่องจากในการส่งข้อมูลฝั่งขาหลังนั้น แผนการเล่นที่ดีที่สุดของผู้เล่นฝ่ายโจมตีคือเลือกพื้นที่ที่เกิดจากบีมที่ส่งมาจากจุดเชื่อมต่อแต่ละตัวซ้อนทับกันมากที่สุด ซึ่งเปรียบเสมือนเป็นหลุมพรางที่อยู่ตามเส้นทางต่าง ๆ ทำให้ถ้าหากผู้เล่นฝ่ายป้องกันเลือกส่งข้อมูลแบบยูนิฟอร์มแล้ว หมายความว่า จะเดินไปในทุกเส้นทางด้วยความน่าจะเป็นที่เท่ากันซึ่งจะมีโอกาสตกหลุมพรางได้มากกว่าในกรณีที่ส่งข้อมูลโดยใช้ทฤษฎีเกมซึ่งจะสามารถหลบหลีกเส้นทางที่คิดว่าจะมีหลุมพรางได้

จากรูปที่ 4.20 และ 4.21 แสดงให้เห็นว่าการเพิ่มความสามารถในการหลบหลีกของการส่งข้อมูลด้วยทฤษฎีเกมเทียบกับบีมวิดท์ส่วนใหญ่จะเพิ่มฟังก์ชันเพิ่มแบบขั้นบันได ซึ่งหมายความว่ายิ่งบีมวิดท์มีค่ามากขึ้นก็จะยิ่งเพิ่มหลุมพรางในโครงข่ายมากขึ้นด้วยทำให้การส่งข้อมูลแบบทฤษฎีเกมจึงจำเป็นและยังเพิ่มความสามารถในการหลบหลีกได้มากขึ้นเรื่อย ๆ แต่อย่างไรก็ตามในโครงข่ายตารางขนาด 2x3 กรณีการส่งข้อมูลฝั่งขาหลัง กลับพบว่าการส่งข้อมูลแบบทฤษฎีเกมแทบจะไม่เพิ่มความสามารถในการหลบหลีกให้มากขึ้นเลยเมื่อบีมวิดท์มีค่ามากขึ้น เพราะจากรูปที่ 4.3 ผู้เล่นฝ่ายโจมตีจะเลือกดักฟังในพื้นที่ระหว่างจุดเชื่อมต่อ 2 และจุดเชื่อมต่อ 5 เสมอ เปรียบเสมือนการมีหลุมพรางอยู่ระหว่างเส้นทางและจำนวนเส้นทางนั้นน้อยมากเมื่อเทียบกับในโครงข่ายแบบตารางขนาด 3x3 และ 3x4 ทำให้ไม่ว่าการส่งข้อมูลแบบทฤษฎีเกมจะพยายามหลบหลีกหลุมพรางอย่างไร แต่ด้วยจำนวนเส้นทางที่น้อยจึงไม่สามารถหลบหลีกได้ดีไปกว่านี้ จากผลการทดลองทำให้ทราบว่าสถานการณ์ไหนผู้เล่นฝ่ายป้องกันควรจะส่งข้อมูลแบบทฤษฎีเกมและสถานการณ์ไหนควรจะส่งข้อมูลแบบยูนิฟอร์ม ทำให้สามารถเลือกรูปแบบในการส่งข้อมูลได้เหมาะสมกับสถานการณ์

4.2.6 ผลกระทบต่อ ESS ในกรณีผู้เล่นฝ่ายโจมตีเลือกพื้นที่ในการโจมตีแบบยูนิฟอร์ม และแบบพื้นที่ทับซ้อนบีมที่มากที่สุด

จากหัวข้อที่ผ่านมาจะเป็นการเทียบความแตกต่างระหว่างผู้เล่นฝ่ายป้องกันที่ใช้ทฤษฎีเกมในการเลือกรูปแบบทริกกับการเลือกรูปแบบทริกแบบยูนิฟอร์ม ส่วนในหัวข้อนี้จะเป็นการเปรียบเทียบการเลือกรูปแบบพื้นที่โจมตีของผู้เล่นฝ่ายโจมตี ซึ่งจะมีวิธีเลือก 3 แบบ แบบแรกคือแบบทฤษฎีเกม แบบที่สองคือแบบพื้นที่ของบีมที่มีการทับซ้อนมากที่สุด หมายถึงผู้เล่นฝ่ายโจมตีจะเลือกตำแหน่งโจมตีในพื้นที่ที่มีบีมซ้อนทับกันมากที่สุดโดยถ้าเกิดมีพื้นที่

ซ้อนทับกันของบีมมากกว่า 1 ตำแหน่งก็จะทำการแบ่งค่าความน่าจะเป็นในการเลือกพื้นที่นั้น ๆ เท่ากันและแบบสุดท้ายคือแบบยูนิฟอร์มหมายถึงผู้เล่นฝ่ายโจมตีเลือกพื้นที่ในการโจมตีทั้งหมดด้วยค่าความน่าจะเป็นที่เท่ากัน โดยจะยกตัวอย่างผลการทดสอบของโครงข่ายแบบตารางขนาด 3x3 ดังรูปที่ 4.7 กำหนดให้ทุกโหนดมีระยะห่างกัน 20 หน่วยและให้รัศมีการส่งสัญญาณไร้สายเท่ากับ 25 หน่วย โดยมีเกตเวย์ 2 ตัวอยู่ที่มุมซ้ายบนและมุมขวาล่าง ทำการทดสอบ 4 กรณีโดย กรณีแรกจะเป็นกรณีที่ผู้เล่นฝ่ายป้องกันและฝ่ายโจมตีใช้ทฤษฎีเกมในการเลือกแผนของตัวเองทั้งคู่ กรณีที่สองจะเป็นกรณีที่ผู้เล่นฝ่ายป้องกันเลือกแผนแบบยูนิฟอร์มส่วนผู้เล่นฝ่ายโจมตีเลือกโจมตีแบบทฤษฎีเกม กรณีที่สามจะเป็นกรณีที่ผู้เล่นฝ่ายป้องกันใช้ทฤษฎีเกมในการเลือกแผนส่วนผู้เล่นฝ่ายโจมตีเลือกพื้นที่ที่เกิดการซ้อนทับกันของบีมมากที่สุด และกรณีสุดท้ายจะเป็นกรณีที่ผู้เล่นฝ่ายป้องกันใช้ทฤษฎีเกมในการเลือกแผนส่วนผู้เล่นฝ่ายโจมตีจะเลือกพื้นที่โจมตีเป็นแบบยูนิฟอร์ม ซึ่งจะแสดงผลการทดสอบแยกเป็นการส่งข้อมูลฝั่งขาขึ้นและการส่งข้อมูลฝั่งขาลงตามลำดับดังรูปที่ 4.22 และ 4.23

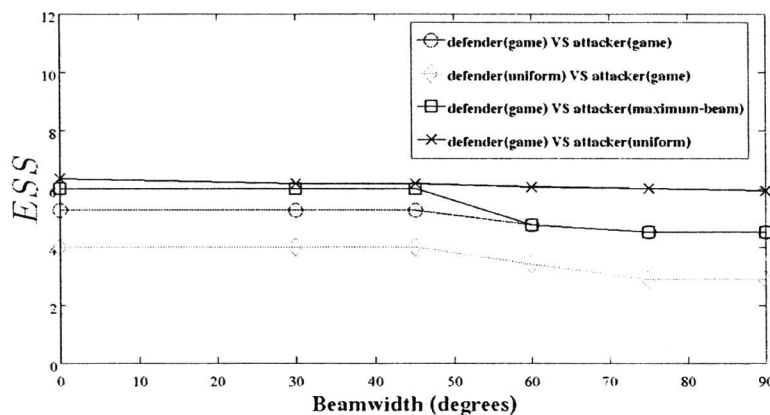


รูปที่ 4.22: ความแตกต่างของค่า ESS เมื่อผู้เล่นแต่ละฝ่ายเลือกรูปแบบแผนการเล่นด้วยวิธีต่าง ๆ กรณีการดักฟังข้อมูลในการส่งข้อมูลฝั่งขาขึ้นและกรณีการส่งสัญญาณรบกวนในการส่งข้อมูลฝั่งขาลง

จากรูปที่ 4.22 แสดงให้เห็นว่ากรณีการดักฟังข้อมูลในการส่งข้อมูลฝั่งขาขึ้นนั้นที่ค่าบีมวิดท์ต่ำกว่า 45 องศา ผู้เล่นฝ่ายโจมตีที่เลือกพื้นที่ดักฟังข้อมูลด้วยความน่าจะเป็นแบบยูนิฟอร์มจะสามารถดักฟังข้อมูลได้มากกว่าผู้โจมตีที่เลือกพื้นที่ในการดักฟังแบบพื้นที่ซ้อนทับกันของบีมมากที่สุด เพราะว่าจากหัวข้อที่ 4.2.1 ทำให้ทราบว่าพื้นที่ดักฟังที่ดีที่สุดของผู้โจมตีคือพื้นที่ซ้อนทับกันของบีมบริเวณรอบ ๆ เกตเวย์ แต่ในที่นี้พื้นที่ซ้อนทับกันมากที่สุดของบีมกลับไปอยู่บริเวณของจุดเชื่อมต่อที่อยู่ตรงกลางของโครงข่ายทำให้ผู้โจมตีดักฟังข้อมูลได้น้อยกว่าการเลือกพื้นที่แบบสุ่มหรือแบบยูนิฟอร์ม แต่เมื่อบีมวิดท์ยิ่งกว้างทำให้เกิดพื้นที่ในการซ้อนทับกันของบีมมากขึ้นเป็นผลให้เกิดพื้นที่ทับซ้อนของบีมบริเวณรอบเกตเวย์เพิ่มขึ้นทำให้ผู้โจมตีที่เลือกพื้นที่การซ้อนทับกันของบีมมากที่สุดสามารถดักฟังข้อมูลได้มากขึ้นเท่ากับการเลือกพื้นที่แบบสุ่ม ส่วนในกรณีของการส่งสัญญาณรบกวนนั้นจะเหมือนกับในกรณี

ของการดักฟังข้อมูลแต่บีมที่เลือกเพื่อดักฟังข้อมูลนั้นจะเปลี่ยนเป็นการส่งสัญญาณรบกวนไปยังบีมที่หันมารับข้อมูลของโหนดปลายทาง

ยิ่งไปกว่านั้นจากกราฟยังแสดงให้เห็นว่าในโครงข่ายนี้ผู้เล่นฝ่ายโจมตีเป็นฝ่ายที่ต้องการใช้ทฤษฎีเกมมากกว่าผู้เล่นฝ่ายป้องกัน เพราะในกรณีที่ผู้เล่นฝ่ายโจมตีเลือกพื้นที่ในการโจมตีแบบอื่น ๆ ที่ไม่ใช่ทฤษฎีเกมค่า ESS จะแตกต่างเมื่อเทียบกับตอนใช้ทฤษฎีเกมมากกว่าความแตกต่างกรณีผู้เล่นฝ่ายป้องกันที่ใช้ทฤษฎีเกมกับไม่ใช่ทฤษฎีเกม นั้นหมายความว่ากรณีการดักฟังข้อมูลในการส่งข้อมูลฝั่งขาขึ้นหรือการส่งสัญญาณรบกวนในการส่งข้อมูลฝั่งขาลงพื้นที่ในการโจมตีที่ดีที่สุดของผู้เล่นฝ่ายโจมตีจะมีจำนวนน้อยและจำเป็นที่จะต้องนำทฤษฎีเกมมาใช้ ซึ่งพื้นที่นั้นก็คือพื้นที่บริเวณรอบเกตเวย์ ผิดกับกรณีของผู้เล่นฝ่ายป้องกันที่สามารถส่งข้อมูลรูปแบบหรือออกไปแบบสุ่มซึ่งอาจจะได้ผลดีไม่เท่ากับการเลือกรูปแบบทริด้วยเกมแต่ค่าของ ESS ก็ไม่แตกต่างกันมากนักเมื่อเทียบกับกรณีของผู้เล่นฝ่ายโจมตี



รูปที่ 4.23: ความแตกต่างของค่า ESS เมื่อผู้เล่นแต่ละฝ่ายเลือกรูปแบบแผนการเล่นด้วยวิธีต่าง ๆ กรณีการดักฟังข้อมูลในการส่งข้อมูลฝั่งขาลงและกรณีการส่งสัญญาณรบกวนในการส่งข้อมูลฝั่งขาขึ้น

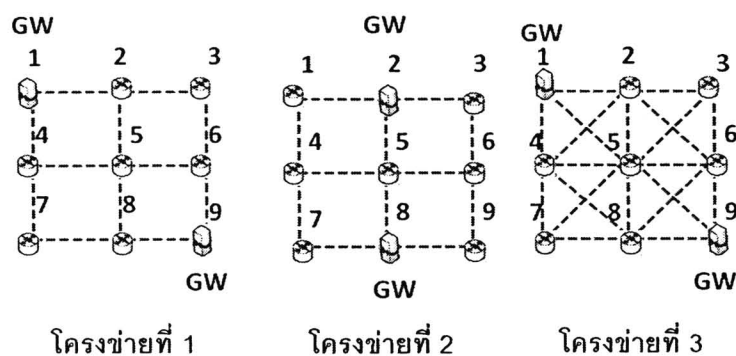
จากรูปที่ 4.23 แสดงให้เห็นว่ากรณีการดักฟังข้อมูลในการส่งข้อมูลฝั่งขาลงหรือการส่งสัญญาณรบกวนในการส่งข้อมูลฝั่งขาขึ้นนั้น จากหัวข้อที่ 4.2.1 ทำให้ทราบว่าพื้นที่ในการโจมตีที่ดีที่สุดคือบริเวณพื้นที่ซ้อนทับกันของบีมที่จุดเชื่อมต่อแต่ละตัวเป็นผลทำให้การเลือกพื้นที่โจมตีด้วยจำนวนการซ้อนทับของบีมที่มากที่สุดสามารถโจมตีโครงข่ายได้ร้ายแรงกว่าในกรณีการเลือกพื้นที่โจมตีแบบสุ่มหรือแบบยูนิฟอร์ม

ยิ่งไปกว่านั้นจากกราฟยังแสดงให้เห็นว่าในโครงข่ายนี้ผู้เล่นฝ่ายป้องกันเป็นฝ่ายที่ต้องการใช้ทฤษฎีเกมมากกว่าผู้เล่นฝ่ายโจมตี เนื่องจากความแตกต่างกันของค่า ESS ในกรณีที่ผู้เล่นฝ่ายป้องกันใช้และไม่ใช่ทฤษฎีเกมมีค่ามากกว่ากรณีที่ผู้เล่นฝ่ายโจมตีเลือกใช้พื้นที่ซ้อนทับของบีมมากที่สุดกับแบบทฤษฎีเกม เนื่องจากในหัวข้อที่ 4.2.5 ได้แสดงให้เห็นแล้วว่า การส่งรูปแบบทริด้วยทฤษฎีเกมเทียบกับแบบยูนิฟอร์มในการดักฟังข้อมูลของการส่งข้อมูลฝั่งขาลงนั้นสามารถทำให้ค่า ESS สูงกว่าแบบยูนิฟอร์มมาก เนื่องจากกรณีนี้ผู้เล่นฝ่ายป้องกันต้องการทฤษฎีเกมมาเพื่อส่งข้อมูลหลบหลีกผู้เล่นฝ่ายโจมตีที่โจมตีอยู่

บริเวณรอบ ๆ จุดเชื่อมต่อที่มีพื้นที่บ่มซอนทับกันหนาแน่น ตรงกันข้ามกับผู้เล่นฝ่ายป้องกันที่ถึงแม้จะเลือกพื้นที่ซอนทับกันของบีมมากที่สุดก็สามารถโจมตีข้อมูลที่ส่งไปหาจุดเชื่อมต่อได้ใกล้เคียงกับแบบทฤษฎีเกม

4.2.7 การวิเคราะห์เปรียบเทียบระดับความปลอดภัยที่ลดลงเมื่อเกิดความเสียหายกับจุดเชื่อมต่อที่ตำแหน่งต่าง ๆ

ในหัวข้อการทดสอบนี้จะเป็นการจำลองสถานการณ์ในโครงข่ายไร้สายแบบเมชโดยจะคิดค่า *ESS* ที่เกิดขึ้นจากการที่มีจุดเชื่อมต่อหนึ่ง ๆ เกิดความเสียหายไม่สามารถใช้งานได้ เพื่อวิเคราะห์ถึงความสำคัญของจุดเชื่อมต่อตัวนั้น ๆ ว่ามีผลต่อค่าความปลอดภัยของทั้งโครงข่ายมากน้อยแค่ไหน ทำให้ในทางปฏิบัติสามารถบำรุงรักษาและตรวจเช็คสภาพจุดเชื่อมต่อที่มีความสำคัญต่อระบบเพื่อให้โครงข่ายโดยรวมมีประสิทธิภาพในแง่ของความปลอดภัย ในหัวข้อนี้จะทดสอบโดยใช้โครงข่ายดังรูปที่ 4.24 โดยโนดแต่ละโนดจะวางห่างกัน 20 หน่วย และกำหนดให้รัศมีในการส่งสัญญาณไร้สายมีค่า 29 หน่วย ซึ่งจะทดสอบโดยการตัดจุดเชื่อมต่อออกจากโครงข่ายทีละตัวแล้วคำนวณค่า *ESS* ว่าเปลี่ยนแปลงไปมากหรือน้อย หลังจากนั้นก็ได้กำหนดค่าบีมวิดท์ของโนดในโครงข่ายให้มีค่าเท่ากันทุกโนดและมีค่าเป็น 0, 30, 45, 60, 75, 90 องศาตามลำดับ



รูปที่ 4.24: โครงข่ายแบบตารางขนาด 3x3 ที่ใช้เปรียบเทียบระดับความสำคัญของจุดเชื่อมต่อที่มีผลต่อความปลอดภัยของโครงข่าย

การคำนวณในหัวข้อนี้จะคำนวณค่าความปลอดภัยโดยคิดเป็นร้อยละจาก *ESS* ในกรณีของการดักฟังข้อมูลหารด้วยจำนวนเซสชันทั้งหมดเพื่อให้ค่าความปลอดภัยอยู่ในมาตรฐานเดียวกันซึ่งผลการทดสอบจะแสดงในตารางที่ 4.4 และ 4.5

จากตารางที่ 4.6 และ 4.7 ทำให้เห็นว่าการที่จุดเชื่อมต่อใดจุดเชื่อมต่อหนึ่งเกิดการเสียหายจะไม่มีผลต่อค่าความปลอดภัยของโครงข่ายในกรณีการส่งข้อมูลฝั่งขาขึ้นแต่อย่างไร เนื่องจากแผนการเล่นของผู้ดักฟังจะดักฟังบริเวณพื้นที่รอบเกตเวย์เท่านั้นทำให้ทราบได้ที่มีเกตเวย์สองตัวถึงแม้จุดเชื่อมต่อใดจุดเชื่อมต่อหนึ่งจะเสียหายไปค่าร้อยละ *ESS* ต่อจำนวนเซสชันทั้งหมดจะยังคงมีค่า 50 เท่าเดิมเสมอ ส่วนในกรณีของการส่งข้อมูลฝั่งขาลงนั้นการเสียหายของจุดเชื่อมต่อบางตัวจะมีผลต่อค่าร้อยละ *ESS* ต่อจำนวนเซสชันทั้งหมด ซึ่งจาก

ตารางที่ 4.6: ค่าร้อยละ *ESS* ต่อจำนวนเซสชันทั้งหมดกรณีการดักฟังสัญญาณเมื่อตัดจุดเชื่อมต่อแต่ละจุดออกของโครงข่ายแบบตารางขนาด 3x3 โครงข่ายที่ 1

จุดเชื่อมต่อที่เสีย	$BW = \{0, 30, 45\}$	$BW = \{60\}$	$BW = \{75, 90\}$
(TAP or TAP)	(uplink,downlink)	(uplink,downlink)	(uplink,downlink)
ไม่มี TAP เสีย	(50.00,75.00)	(50.00,67.85)	(50.00,64.28)
3 or 5 or 7	(50.00,75.00)	(50.00,66.66)	(50.00,58.00)
2 or 4 or 6 or 8	(50.00,66.66)	(50.00,61.00)	(50.00,50.00)

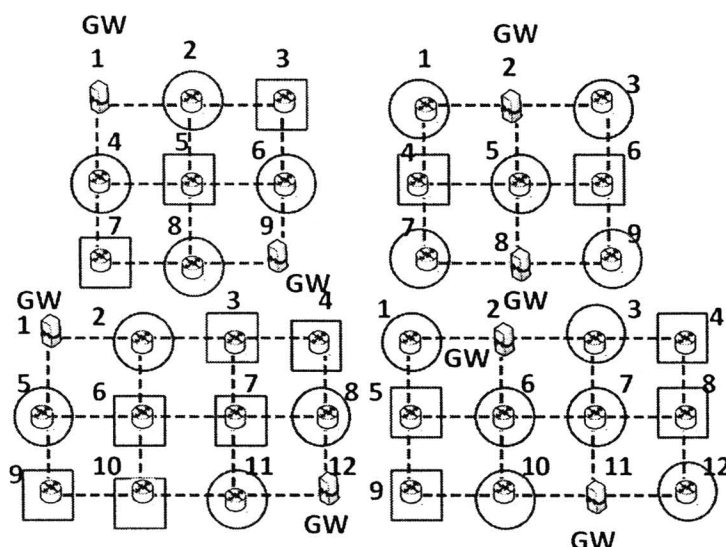
ตารางที่ 4.7: ค่าร้อยละ *ESS* ต่อจำนวนเซสชันทั้งหมดกรณีการดักฟังสัญญาณเมื่อตัดจุดเชื่อมต่อแต่ละจุดออกของโครงข่ายแบบตารางขนาด 3x3 โครงข่ายที่ 2

จุดเชื่อมต่อที่เสีย	$BW = \{0, 30, 45\}$	$BW = \{60\}$	$BW = \{75, 90\}$
(TAP or TAP)	(uplink,downlink)	(uplink,downlink)	(uplink,downlink)
ไม่มี TAP เสีย	(50.00,75.00)	(50.00,67.85)	(50.00,64.28)
4 or 6	(50.00,75.00)	(50.00,66.66)	(50.00,58.00)
1 or 3 or 5 or 7 or 9	(50.00,66.66)	(50.00,61.00)	(50.00,50.00)

ผลการทดสอบทำให้เห็นว่าจุดเชื่อมต่อที่อยู่ติดกับเกตเวย์จะมีความสำคัญมากกว่าจุดเชื่อมต่อที่ไม่ติดกับเกตเวย์หรือกว่าอีกนัยหนึ่งได้ว่าถ้าตัดจุดเชื่อมต่อที่อยู่ติดกับเกตเวย์ออกแล้วจะทำให้ค่าร้อยละ *ESS* ต่อจำนวนเซสชันทั้งหมดลดลงมากกว่ากรณีที่ตัดจุดเชื่อมต่อที่ไม่ติดกับเกตเวย์ออก ที่เป็นเช่นนั้นเพราะว่าการที่ตัดจุดเชื่อมต่อที่ติดกับเกตเวย์ออกนั้นเปรียบเหมือนกับการลดเส้นทางของการส่งข้อมูลของผู้เล่นฝ่ายป้องกันที่ใช้หลบหลีกผู้เล่นฝ่ายโจมตีทำให้ผู้เล่นฝ่ายโจมตีมีโอกาสที่จะดักฟังข้อมูลได้มากขึ้นเป็นผลทำให้ค่าร้อยละ *ESS* ต่อจำนวนเซสชันทั้งหมดลดลง ยิ่งไปกว่านั้นการเพิ่มของบีมวิดท์จะไม่มีผลต่อการเปลี่ยนแปลงระดับความสำคัญของจุดเชื่อมต่อแต่จะมีผลต่อค่าร้อยละ *ESS* ต่อจำนวนเซสชันทั้งหมดซึ่งถ้าบีมวิดท์มีค่ามากความเสี่ยงหายของจุดเชื่อมต่อจะส่งผลกระทบต่อความปลอดภัยของโครงข่ายมากตามไปด้วยเช่นกัน

นอกจากนี้ยังได้ทดสอบกับโครงข่ายแบบหนาแน่นตามโครงข่ายที่ 3 ดังรูปที่ 4.24 ซึ่งกำหนดให้ค่าบีมวิดท์ทุกโนดเป็น 45 องศาตามการปรับค่าบีมวิดท์ที่เหมาะสมตามที่เคยกล่าวมา ปรากฏว่าเมื่อตัดจุดเชื่อมต่อ 2 หรือ 4 หรือ 6 หรือ 8 แล้วจะทำให้ค่าร้อยละ *ESS* ต่อจำนวนเซสชันทั้งหมดของการส่งข้อมูลฝั่งขาลงเป็น 72 และเมื่อตัดจุดเชื่อมต่อ 3 หรือ 5 หรือ 7 จะทำให้ค่าร้อยละ *ESS* ต่อจำนวนเซสชันทั้งหมดของการส่งข้อมูลฝั่งขาลงเป็น 76 ซึ่งมีค่าสูงกว่าโครงข่ายที่ 1 ในรูป 4.24 ซึ่งเป็นโครงข่ายแบบเบาบาง แสดงให้เห็นว่าในสถานการณ์ที่จุดเชื่อมต่อบางจุดเกิดเสียหายในโครงข่ายแบบหนาแน่นนั้นจะยังมีค่าความปลอดภัยสูงกว่าโครงข่ายแบบเบาบางในสถานการณ์เดียวกัน เพราะการที่แต่ละโนดมีองศาอิสระที่มากกว่าทำให้เมื่อมีจุดเชื่อมต่อบางจุดเกิดเสียหายก็ยังมีเส้นทางในการเลือกเพื่อหลบหลีกผู้เล่นโจมตีได้มากกว่า

ยิ่งไปกว่านั้นผลการทดสอบยังแสดงให้เห็นถึงจุดเชื่อมต่อจะแบ่งความสำคัญออกเป็นสองระดับ คือ ระดับแรกจะเป็นจุดเชื่อมต่อที่อยู่ติดกับเกตเวย์ซึ่งเมื่อติดจุดเชื่อมต่อใดจุดเชื่อมต่อหนึ่งออกแล้วค่าร้อยละ *ESS* ต่อจำนวนเซสชันทั้งหมดจะเท่ากับการตัดจุดเชื่อมต่ออื่น ๆ ที่ติดกับเกตเวย์เช่นกัน ในทำนองเดียวกับความสำคัญระดับสองจุดเชื่อมต่อที่ไม่ติดกับเกตเวย์จะให้ค่าร้อยละ *ESS* ต่อจำนวนเซสชันทั้งหมดเท่ากันกับการตัดจุดเชื่อมต่อที่ไม่ติดกับเกตเวย์อื่น ๆ ซึ่งไม่ว่าจะอยู่ห่างจากเกตเวย์เป็นระยะเท่าใดก็ตามซึ่งจะแสดงจุดเชื่อมต่อที่สำคัญระดับแรกผ่านวงกลมสีน้ำเงินและที่สำคัญระดับสองด้วยสี่เหลี่ยมสีเขียวดังรูปที่ 4.25 โดยได้ทำการทดลองแบบเดียวกันกับโครงข่ายแบบตารางขนาด 3x4 อย่างไรก็ตามผลการวิเคราะห์นี้ใช้ได้กับโครงข่ายแบบตารางสมมาตรโดยถ้าเปลี่ยนรูปแบบของโครงข่ายแล้วก็จะมีผลต่อความสำคัญของจุดเชื่อมต่อแต่ละตัวแตกต่างกันแต่ในผลการทดสอบหัวข้อนี้ได้แสดงให้เห็นตัวอย่างของการคำนวณหาความสำคัญของแต่ละโหนดเพื่อนำไปประยุกต์ใช้ได้ต่อไป



รูปที่ 4.25: ระดับความสำคัญของจุดเชื่อมต่อแต่ละตัวในโครงข่าย

ส่วนกรณีของการส่งสัญญาณรบกวนในการส่งข้อมูลฝั่งขาขึ้นค่าร้อยละ *ESS* ต่อจำนวนเซสชันทั้งหมดจะมีค่าเท่ากับกรณีการดักฟังข้อมูลในการส่งข้อมูลฝั่งขาลง ในทำนองเดียวกันค่าร้อยละ *ESS* ต่อจำนวนเซสชันทั้งหมดของกรณีการส่งสัญญาณรบกวนฝั่งขาลงจะเท่ากับกรณีการดักฟังข้อมูลในการส่งข้อมูลฝั่งขาขึ้น โดยจะแสดงค่าค่าร้อยละ *ESS* ต่อจำนวนเซสชันทั้งหมดของกรณีการรบกวนสัญญาณในตารางที่ 4.8 และ 4.9 ซึ่งระดับความสำคัญของโหนดยังเหมือนกรณีการดักฟังข้อมูลในรูปที่ 4.25

ตารางที่ 4.8: ค่าร้อยละ *ESS* ต่อจำนวนเซสชันทั้งหมดกรณีการส่งสัญญาณรบกวนเมื่อตัดจุดเชื่อมต่อแต่ละจุดออกของโครงข่ายแบบตารางขนาด 3x3 โครงข่ายที่ 1

จุดเชื่อมต่อที่เสีย	$BW = \{0, 30, 45\}$	$BW = \{60\}$	$BW = \{75, 90\}$
(TAP or TAP)	(uplink,downlink)	(uplink,downlink)	(uplink,downlink)
ไม่มี TAP เสีย	(75.00,50.00)	(67.85,50.00)	(64.28,50.00)
3 or 5 or 7	(75.00,50.00)	(66.66,50.00)	(58.00,50.00)
2 or 4 or 6 or 8	(66.66,50.00)	(61.00,50.00)	(50.00,50.00)

ตารางที่ 4.9: ค่าร้อยละ *ESS* ต่อจำนวนเซสชันทั้งหมดกรณีการส่งสัญญาณรบกวนเมื่อตัดจุดเชื่อมต่อแต่ละจุดออกของโครงข่ายแบบตารางขนาด 3x3 โครงข่ายที่ 2

จุดเชื่อมต่อที่เสีย	$BW = \{0, 30, 45\}$	$BW = \{60\}$	$BW = \{75, 90\}$
(TAP or TAP)	(uplink,downlink)	(uplink,downlink)	(uplink,downlink)
ไม่มี TAP เสีย	(75.00,50.00)	(67.85,50.00)	(64.28,50.00)
4 or 6	(75.00,50.00)	(66.66,50.00)	(58.00,50.00)
1 or 3 or 5 or 7 or 9	(66.66,50.00)	(61.00,50.00)	(50.00,50.00)

4.3 การวิเคราะห์โครงข่ายสุ่ม

ในหัวข้อการทดสอบนี้จะเป็นการสุ่มโครงข่ายโดยใช้ Waxman topology generator [15]–[17] เป็นตัวสร้างโครงข่ายที่นิยมใช้กันอย่างแพร่หลาย ซึ่งโมเดลแบบ Waxman นี้จะมีค่าพารามิเตอร์อยู่ 4 ตัว ได้แก่ จำนวนของโหนด, α , β และ โดเมน โดยในหัวข้อนี้จะแยกการทดสอบออกเป็น 2 ส่วน ส่วนแรกคือการทดสอบผลกระทบต่อ *ESS* ในโครงข่ายแบบสุ่มกรณีการดักฟังข้อมูลและส่วนที่สองจะเป็นการทดสอบผลกระทบต่อ *ESS* กรณีการส่งสัญญาณรบกวนโดยจะเพิ่มขนาดรัศมีของสัญญาณรบกวนขึ้นเรื่อย ๆ ในการทดสอบแรกนั้นพารามิเตอร์ตัวแรกคือจำนวนโหนดและจากโมเดลของ Waxman ความน่าจะเป็นที่โหนด u จะสามารถเชื่อมต่อกับโหนด v ได้จะเป็นไปดังสมการ

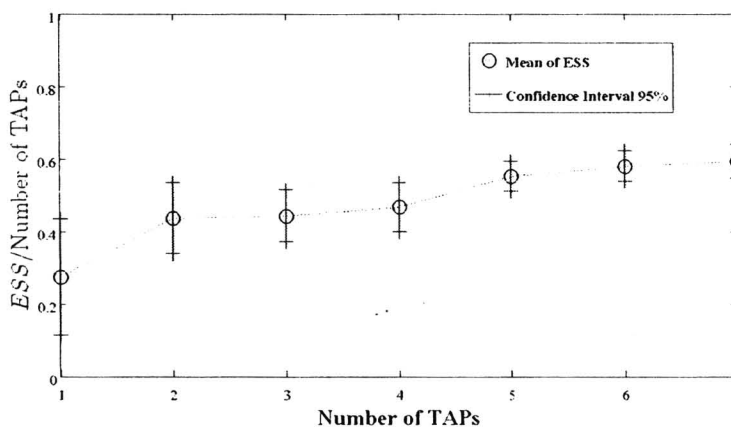
$$P(u, v) = \alpha e^{-\frac{d}{\beta L}}, 0 < \alpha, 1 \leq \beta$$

- α คือพารามิเตอร์ที่กำหนดจำนวนลิงค์โดยค่ายิ่งมากจำนวนลิงค์ (link) จะมากตาม
- β คือพารามิเตอร์ควบคุมอัตราส่วนระหว่างลิงค์ที่ยาวต่อลิงค์ที่สั้น
- d คือระยะห่างระหว่างโหนด u และโหนด v
- L คือระยะห่างของโหนด 2 ตัวใด ๆ ที่มากที่สุดในโครงข่าย



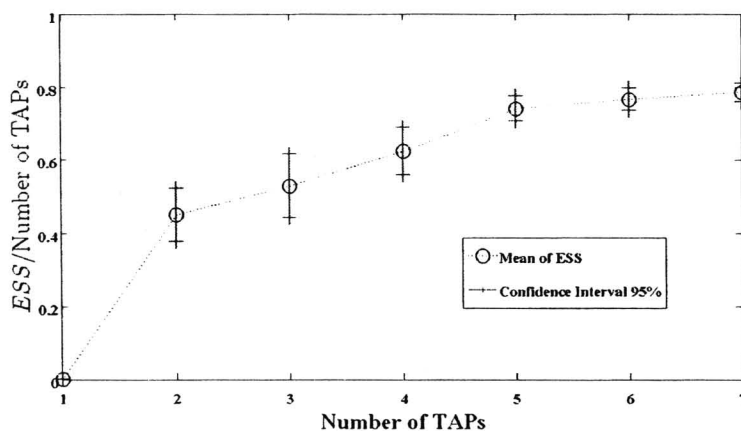
4.3.1 การวิเคราะห์ค่า ESS ในโครงข่ายสุ่มกรณีการดักฟังข้อมูล

กำหนดให้จำนวนโนดมีตั้งแต่ 3 โนดไปจนถึง 9 โนด ส่วนค่า $\alpha = 1$ และ $\beta = 1$ เพื่อให้โครงข่ายที่สุ่มออกมาเป็นโครงข่ายที่ไม่มีโครงข่ายย่อยแยกออกเป็น ส่วน ๆ และมีการเชื่อมต่อกันอย่างหนาแน่นจนใกล้เคียงการเชื่อมต่อแบบเมช ส่วนพารามิเตอร์สุดท้าย domain คือช่วงที่จะใช้ในการสุ่มตำแหน่งของโนดซึ่งได้กำหนดในการทดสอบนี้เป็นช่วงสี่เหลี่ยมโดยมีค่า 10 ถึง 20 หน่วยทั้งในแนวแกนตั้งและแกนนอน เมื่อทำการสุ่มตำแหน่งของโนดในโครงข่ายออกมาแล้วในวิทยานิพนธ์นี้จะกำหนดเกตเวย์ 2 ตัวขึ้นจากโนดที่สุ่มมาได้โดยใช้ k-mean ซึ่งค่า $k = 2$ และกำหนดให้รัศมีในการส่งสัญญาณไร้สายของโนดทุกตัวเท่ากันหมด จากการทดสอบโครงข่ายสุ่มโดยสุ่มมาจำนวนโนดละ 20 ตัวอย่างกรณีการดักฟังข้อมูลหลังจากนั้นได้คำนวณค่าเฉลี่ยของ ESS และคำนวณค่าความเชื่อมั่นที่ 95% (confidence interval 95%) และแยกกรณีการส่งข้อมูลฝั่งขาขึ้นและฝั่งขาลงได้ผลดังรูปที่ 4.26 และ 4.27



รูปที่ 4.26: อัตราส่วน ESS ต่อจำนวนจุดเชื่อมต่อทั้งหมดในโครงข่ายแบบสุ่มกรณีการดักฟังข้อมูลในการส่งข้อมูลฝั่งขาขึ้น

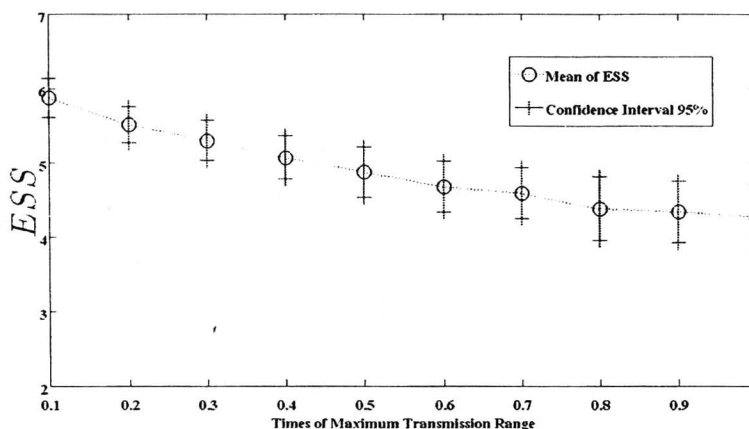
จากรูปที่ 4.26 และ 4.27 ทำให้เห็นแนวโน้มว่าเมื่อเพิ่มจำนวนโนดแล้วจะทำให้อัตราส่วนค่าเฉลี่ย ESS ต่อจำนวนเซสชันทั้งหมดจะเพิ่มขึ้นตาม เนื่องจากการเพิ่มของจำนวนโนดนั้นทำให้จำนวนเส้นทางในการส่งข้อมูลเพื่อหลบหลีกผู้โจมตีมีมากขึ้น อีกข้อสังเกตหนึ่งคืออัตราส่วนค่าเฉลี่ย ESS ต่อจำนวนเซสชันทั้งหมดในการส่งข้อมูลฝั่งขาลงจะมีค่ามากกว่าการส่งข้อมูลฝั่งขาขึ้น ทั้งนี้เป็นเพราะการดักฟังในการส่งข้อมูลฝั่งขาขึ้นนั้นพื้นที่ที่ดีที่สุดจะเป็นพื้นที่บริเวณรอบ ๆ เกตเวย์ โดยยังโครงข่ายไหนที่สุ่มออกมาแล้วมีเกตเวย์ติดกันและอยู่ตรงกลางของโครงข่ายโดยที่มีจุดเชื่อมต่ออยู่รอบ ๆ โครงข่ายนั้นค่า ESS จะต่ำมาก ในทางกลับกันการส่งข้อมูลฝั่งขาลงนั้นตำแหน่งที่ดีที่สุดในการดักฟังคือพื้นที่บริเวณจุดเชื่อมต่อต่าง ๆ เป็นผลทำให้ยังจำนวนโนดเพิ่มขึ้นโอกาสที่ผู้เล่นฝ่ายโจมตีจะไปดักฟังข้อมูลบริเวณจุดเชื่อมต่อที่มีมากขึ้นก็จะยิ่งยาก ความชันของกราฟในการส่งข้อมูลฝั่งขาลงจึงสูงกว่ากรณีของการส่งข้อมูลฝั่งขาขึ้น



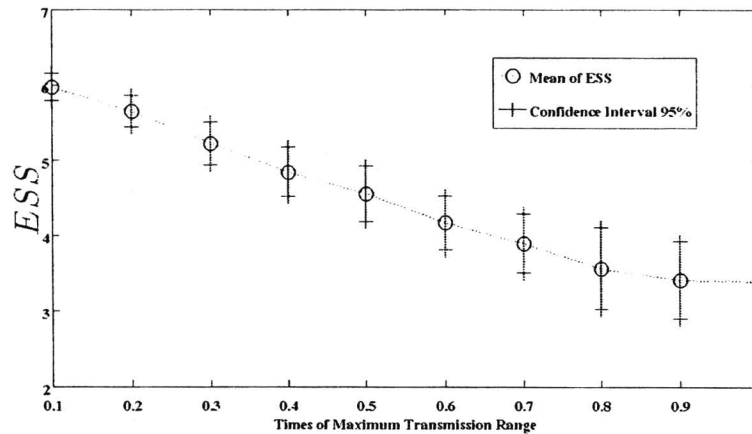
รูปที่ 4.27: อัตราส่วน ESS ต่อจำนวนจุดเชื่อมต่อทั้งหมดในโครงข่ายแบบสุ่มกรณีการดักฟังข้อมูลในการส่งข้อมูลฝั่งขาลง

4.3.2 การวิเคราะห์ค่า ESS ในโครงข่ายสุ่มกรณีการเพิ่มรัศมีของสัญญาณรบกวน

ในหัวข้อนี้จะเป็นการทดสอบผลกระทบต่อค่า ESS เมื่อผู้เล่นฝ่ายโจมตีเพิ่มรัศมีของการส่งสัญญาณรบกวนขึ้นเรื่อย ๆ โดยทำการสุ่มโครงข่าย 9 โหนดขึ้นมาทั้งหมด 20 ตัวอย่างและกำหนดให้ค่า $\alpha = 0.5$ และ $\beta = 1$ ค่า domain เป็นระยะทาง 10 ถึง 20 หน่วยทั้งแนวแกนตั้งและแนวนอน ซึ่งกำหนดรัศมีในการส่งสัญญาณรบกวนโดยเริ่มจาก 1 ใน 10 เท่าของรัศมีการส่งสัญญาณไร้สายของโหนดอื่น ๆ ในโครงข่ายและจะเพิ่มรัศมีสัญญาณรบกวนไปที่ละ 1 ใน 10 จนค่าเท่ากับรัศมีการส่งสัญญาณไร้สายของโหนดในโครงข่าย จากผลการทดสอบได้แสดงโดยการหาค่าเฉลี่ย ESS และหาค่าความเชื่อมั่นที่ 95% ซึ่งได้แยกกรณีของการส่งข้อมูลฝั่งขาขึ้นและฝั่งขาลงดังรูปที่ 4.28 และ 4.29 ตามลำดับ



รูปที่ 4.28: ผลกระทบต่อค่า ESS เมื่อผู้เล่นฝ่ายโจมตีเพิ่มรัศมีของสัญญาณรบกวนในการส่งข้อมูลฝั่งขาขึ้น



รูปที่ 4.29: ผลกระทบต่อค่า *ESS* เมื่อผู้เล่นฝ่ายโจมตีเพิ่มรัศมีของสัญญาณรบกวนในการส่งข้อมูลฝั่งขาลง

จากรูปที่ 4.28 และ 4.29 แสดงให้เห็นว่าการเพิ่มรัศมีของสัญญาณรบกวนนั้นมีผลทำให้ค่า *ESS* ลดลงเรื่อย ๆ และถ้าหากผู้เล่นฝ่ายโจมตีต้องการจะส่งสัญญาณรบกวนในโดเมนเครือข่ายจะต้องใช้รัศมีการส่งสัญญาณรบกวนเท่ากับรัศมีของการส่งสัญญาณไร้สายของโหนดอื่น ๆ เพื่อให้ผลของการโจมตีร้ายแรงที่สุด ยิ่งไปกว่านั้นค่าเฉลี่ยของ *ESS* ในกรณีการส่งข้อมูลฝั่งขาลงจะต่ำกว่าในกรณีการส่งข้อมูลฝั่งขาขึ้นและความชันของกราฟในการส่งข้อมูลฝั่งขาลงจะสูงกว่า นั่นหมายความว่า การเพิ่มรัศมีของสัญญาณรบกวนและการส่งสัญญาณรบกวนมีผลต่อการส่งข้อมูลฝั่งขาลงมากกว่า เนื่องจากการส่งข้อมูลฝั่งขาลงนั้นเกตเวย์จะส่งข้อมูลไปยังจุดเชื่อมต่อต่าง ๆ ทำให้ผู้เล่นฝ่ายโจมตีสามารถส่งสัญญาณรบกวนจุดเชื่อมต่อที่ติดกับเกตเวย์ได้ง่ายโดยไปอยู่ในตำแหน่งพื้นที่บีมที่จุดเชื่อมต่อตัวนั้นหันมารับข้อมูลที่ส่งมาจากเกตเวย์ ซึ่งเมื่อเทียบกับกรณีการส่งข้อมูลฝั่งขาขึ้นผู้โจมตีจะต้องไปส่งสัญญาณรบกวนจุดเชื่อมต่ออื่น ๆ ในเครือข่ายแทนทำให้มีโอกาสที่จะรบกวนยากกว่า และในการเพิ่มรัศมีของสัญญาณรบกวนของการส่งข้อมูลฝั่งขาลงนั้นด้วยเหตุผลที่กล่าวมาทำให้เพิ่มประสิทธิภาพในการรบกวนสัญญาณได้ร้ายแรงกว่าในการส่งข้อมูลฝั่งขาขึ้นความชันของกราฟจึงมีค่าสูงกว่า